

IX Magnetska svojstva tvari (magnetizam)

- magnetske sile su puno slabije od električnih, pa ih tek sada rodimo
- osnovna (glavna) veličina koja se asocira s magnetizmom je **MAGNETSKA SUSCEPTIBILNOST**:

$$\chi = \frac{\partial M}{\partial B} = -\frac{1}{V} \frac{\partial^2 F}{\partial B^2} \quad \text{→ slobodna energija } E$$

$$\frac{F}{V} = \frac{F(\text{bez } B)}{V} - MB$$

$$\frac{1}{V} \frac{\partial F}{\partial B} = -M \Rightarrow M = -\frac{1}{V} \frac{\partial F}{\partial B}$$

$$\Rightarrow \chi = \frac{\partial M}{\partial B} = -\frac{1}{V} \frac{\partial^2 F}{\partial B^2}$$

→ može se definirati i za nehomogena polja ovisna o prostoru i vremenu: $\chi(\vec{r}, \omega)$ → tenzor

M - magnetizacija: magnetski moment po jedinici volumena

$$M(B) = -\frac{1}{V} \frac{\partial F(B)}{\partial B} \quad \text{gustoća slobodne magnetske energije}$$

- u aproksimaciji linearnog odziva: $\vec{M} = \chi \vec{B}$ & $\vec{H} = n \langle \vec{\mu} \rangle$
- χ je odzivna funkcija
- može se povezati s korelativnom funkcijom magnetski moment - magnetski moment.

$$\chi(\vec{r}_1, \omega) \sim \langle \mu(\vec{r}_1, \omega) \mu(\vec{r}_2, \omega) \rangle \quad \chi(\vec{r}_1, \omega) \sim \langle \vec{\mu}(t) \vec{\mu}(\omega) \rangle$$

↳ povezano s disipacijom ↳ povezano s fluktuacijom

Magnetsko polje interagira s elektronskim momentom (magnetski moment jezgre je 10^3 puta manji).

BITNO: gda → indirektno ćemo ga dokazati

1.) **BOHR-VAN LEEUWEN** teorem - čisto klasični sustav nema magnetskog momenta tj. ne pokazuje magnetsku susceptibilnost (striktno klasični sistem $\Rightarrow \chi = 0$; tm. koji kaže da izvan kvantne nema magnetizma)

(To je zato jer su gibanja kontinuirana pa možemo tražiti F kontinuiranim integriranjem po faznom prostoru)

2.) nuklearni magnetski moment je 10^{-3} puta manji od elektronskog \Rightarrow glavni doprinos dolazi od elektrona (magn. mom. je elektronskog podnjetka) (a i elektronski doprinos magn. momentu je malen)

3.) izravne magnetske interakcije su male pa ih zanemarujemo

Dokaz BVL teorema: [A-H 646] → za sustav elektrona u magnetskom polju

$$\vec{p}_i \mapsto \vec{p}_i + \frac{e\hbar}{c} \vec{A}(\vec{r}_i), \quad \vec{A} = -\frac{1}{2} \vec{r} \times \vec{B} \quad \vec{B} = \nabla \times \vec{A}$$

← klasična usrednjena klasični događaji

U termalnom ekvilibriju magnetizacija iščezava.

Slobodna energija je definirana članom:

$$e^{-\beta F} = \sum_n e^{-E_n(B)/k_B T} \quad \int_{\text{fazi prostor}} \prod_{i=1}^N d\vec{p}_i d\vec{r}_i \exp[-\beta H(\vec{r}_1, \dots, \vec{r}_N, \vec{p}_1, \dots, \vec{p}_N)]$$

→ N elektronski sustav

$\vec{p} = \vec{p}' + \frac{e}{c} \vec{A}(\vec{r})$ → jedinici član koji: $\Rightarrow H$ ne ovisi eksplicite o \vec{p} ulazi unutra preko impulsa koji bivaju prointegrirani \Rightarrow tot F više ne ovisi o \vec{p}

Njega se riješimo tako da pomaknemo varijablu

$$\vec{p}' = \vec{p} - \frac{e}{c} \vec{A}(\vec{r})$$

pri čemu granice $-\infty, \infty$ i dalje ostaju ($\infty + "a" = \infty$)

Znači F neće ovisiti o \vec{B} , a $M = -\frac{1}{V} \frac{\partial F}{\partial B} = 0$

Dakle, za objašnjenje magnetskih efekata potrebna je kvantna statistika.

$$\vec{B} = \vec{H} + 4\pi \vec{M}, \quad \vec{H} = \vec{B} - 4\pi \vec{M}$$

Ashcroft / Mermin str. 644

Gustoća magnetizacije i susceptibilnost

Na $T=0$ gustoća magnetizacije $M(H)$ kvantno-mehaničkog sistema volumena V u uniformnom magnetskom polju H se definira sa:

$$M(H) = -\frac{1}{V} \frac{\partial E_0(H)}{\partial H} \quad \text{gdje je } E_0(H) \text{ osnovna (najniže) energetska stanja u prisutnosti polja } H$$

Napomene:

1° Uzimamo da je H polje koje djeluje na individualne mikroskopske magnetske momente unutar čvrstog tijela kao i u slučaju dielektričnog kristala to ne mora biti jednako primijenjeno (vanjskom) polju. Međutim za paramagnetske i diamagnetske substance korekcije lokalnog polja su vrlo male i mogu se zanemariti

2° Zbog jednodimenzionalnosti pretpostavljamo da je \vec{H} paralelan sa \vec{H} . Generalnije treba napisati vektorsku jednadžbu:

$$M_\mu = -\frac{1}{V} \frac{\partial E_0}{\partial H_\mu}, \quad \text{a susceptibilnost će u tom slučaju biti tenzor}$$

Ako je sistem u termalnoj ravnoteži na temperaturi T onda se gustoća magnetizacije može definirati kao prosjek u termalnoj ravnoteži gustoće magnetizacije svakog pobuđenog stanja energije $E_n(H)$:

$$M(H, T) = \frac{\sum_n M_n(H) e^{-E_n/k_B T}}{\sum_n e^{-E_n/k_B T}}$$

gdje je:

$$M_n(H) = -\frac{1}{V} \frac{\partial E_n(H)}{\partial H}$$

To se također može napisati u termodinamičkom obliku:

$$M = -\frac{1}{V} \frac{\partial F}{\partial H}$$

gdje je F magnetska Helmholtzova slobodna energija

definicirana fundamentalnim pravilom iz statističke mehanike:

$$e^{-F/k_B T} = \sum_n e^{-E_n(H)/k_B T}$$

Susceptibilnost je definirana kao:

$$\chi = \frac{\partial M}{\partial H} = -\frac{1}{V} \frac{\partial^2 F}{\partial H^2}$$

Magnetizacija se može mjeriti mjerenjem sile na uzorak koja nastaje zbog nehomogenog polja koje spiro vanra duž uzorka. Promjena slobodne energije duž uzorka od x do $x+dx$ (= mehanički rad izvršen na uzorak oko se T drži const.):

$$dF = F(H(x+dx)) - F(H(x)) = \frac{\partial F}{\partial H} \frac{\partial H}{\partial x} dx = -VM \frac{\partial H}{\partial x} dx$$

=> sila po jedinici udumena koja se mjeri na uzorku:

$$f = -\frac{1}{V} \frac{dF}{dx} = M \frac{\partial H}{\partial x}$$

Pručavamo različite doprinose susceptibilnosti: (lanžeran) atomi ili ioni se sastoje od zakaorenih ljusaka a energija pobudjenja na viša stanja je velika

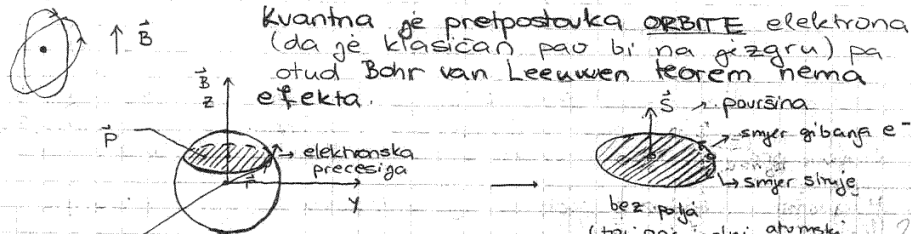
- ① **LANGEVINOV DIJAMAGNETIZAM** → za atome i kristal od atoma bez slobodnih elektrona
- odnosi se na vezane elektrone
 - eksitacije znutar atoma
 - objašnjava dijamagnetizam atoma preko teorije induciranih dipola u atomu; pretpostavlja elektronske staze u atomu

Langevinov dijamagnetizam => potpuno popunjene ljuske (plemeniti plinovi). Gledamo atome čiju elektronsku raspodjelu smatramo sferno simetričnom.

- Atomi su vezani u kristal koji se nalazi u $\vec{B} = B \cdot \hat{z} = \{0, 0, B\}$
- Doprinos od orbitalnog gibanja elektrona.

Radimo klasični proračun magnetizacije (udaljenost → srednja udaljenost elektrona od jezgre, s tom zamjenom rezultat možemo interpretirati kvantno)

Elektron u magnetskom polju → ciklotronsko gibanje (kružno) zbog magnetskog polja superponira se vrtnji oko jezgre.



na osnovno gibanje superponira se gibanje oko \vec{B} (taj onaj nolni atomski doprinos je u prosjeku 0)

Klasična: $\vec{j} = \frac{1}{c} I \vec{S}$ $I = \frac{e}{\pi} = e \frac{|\omega_L|}{2\pi}$ ukupna struja oko petlje (inducirani doprinos)

→ moment je proporcionalan umnošku struje i površine koju zatvara staza

Vektorski potencijal: $\vec{A}(\vec{r}) = \frac{1}{c} \int \frac{\vec{j}(\vec{r}')}{|\vec{r}-\vec{r}'|} d^3r' + \nabla\psi(\vec{r})$ gauge $\psi = \text{const.}$

$$\vec{B}(\vec{r}) = \nabla \times \vec{A}(\vec{r})$$

Razvoj $\frac{1}{|\vec{r}-\vec{r}'|} = \frac{1}{r} + \frac{\vec{r} \cdot \vec{r}'}{r^3} + \dots$ razvor \rightarrow lokalizirana struja $r \gg r'$

$$\Rightarrow A_i(\vec{r}) = \frac{1}{c r} \int j_i(\vec{r}') d^3r' + \frac{\vec{r}}{c r^3} \int j_i(\vec{r}') \vec{r}' d^3r' + \dots$$

= 0 (nema magn. monopola)

$$\vec{r}' \cdot \int \vec{r}' \cdot \vec{j}_i(\vec{r}') d^3r' = -\frac{1}{2} [\vec{r}' \times \int (\vec{r}' \times \vec{j}) d^3r']_i$$

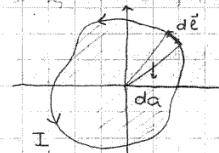
$$\Rightarrow \text{gustota magnetskog momenta: } \vec{M}(\vec{r}) = \frac{1}{2c} [\vec{r}' \times \vec{j}(\vec{r}')]_i$$

Magnetski moment \vec{j} : $\vec{j} = \frac{1}{2c} \int \vec{r}' \times \vec{j}(\vec{r}') d^3r'$

$$\vec{A}(\vec{r}) = \frac{\vec{j} \times \vec{r}}{r^3} \quad \vec{B}(\vec{r}) = \frac{3\hat{n}(\hat{n} \cdot \vec{j}) - \vec{j}}{r^3}$$

\hat{n} - jedinичni vektor u smeru \vec{r}

Za petlju u ravnini:



$$\frac{1}{2} \vec{r} \times d\vec{e}l = da$$

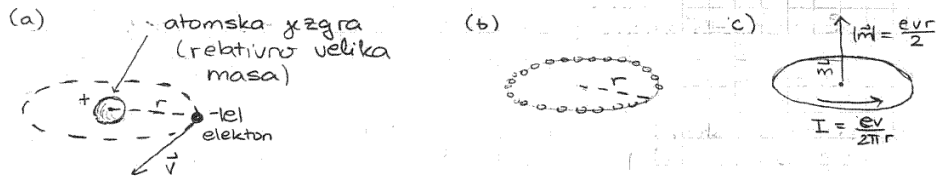
$$\vec{j} = \frac{I}{2c} \oint \vec{r}' \times d\vec{e}$$

$$|\vec{j}| = \frac{I}{c} \times (\text{površina})$$

$$\text{Za } \vec{j} = e \vec{v}_e \delta(\vec{r}-\vec{r}_e) \quad \vec{m} = \frac{1}{2c} e (\vec{r}_e \times \vec{v}_e) = \frac{e}{2mc} \vec{L}_e \quad \vec{L}_e = m(\vec{r}_e \times \vec{v}_e)$$

Elektrone struje u atomima

- Model atoma u kojemu se elektron gibao brzinom \vec{v} po kružnoj stazi
- Jednakovaljan ophod naboja: prosječna je struja ista kao da se naboj $-e$ razdijelio na male dijelove koji čine prsten negativnog naboja koji kruži brzinom v
- Magnetski moment jednak je umnošku struje i ploštine kruga
→ takvim jednostavnim modelom može se objasniti dijamagnetizam



(magnetski učinak atomske jezgre koja se zbog svoje relativno velike mase giba vrlo sporo mogu se zanemariti)

U svakom trenutku elektron i pozitivan naboj izgledaju kao električni dipol ($\vec{p} = \int \vec{r}' \rho(\vec{r}', t) d^3r' = \int \vec{r}' (-e) \delta(\vec{r}' - \vec{r}_1) d^3r' - \int \vec{r}' (+e) \delta(\vec{r}' - \vec{r}_2) d^3r' = -e(\vec{r}_1 - \vec{r}_2)$)
 $\vec{r}_1 = \vec{r}_1(t)$ $\vec{r}_2 = \vec{r}_2(t)$

Međutim, vremenski prosjek električnog dipolnog momenta jednak je nuli pa otom ne proizvodi električno polje na većim udaljenostima. Magnetsko polje sustava na većim udaljenostima nije u prosjeku jednako nuli. To je polje strujnog prstena. Naime, što se tiče vremenskog prosjeka, nema razlike da li je sav negativan naboj skupljen u jednoj čestici koja kruži stazom ili je razdijeljen u mnogo malih dijelova koji čine jednolik ophodni niz. Struja u tom sustavu: $I = \frac{e|v|}{2\pi r}$

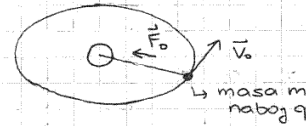
Elektron koji kruži u stazi jednim smjerom jednokovaljan je strujnom prstenu kojim teče ista struja, ali u suprotnom smjeru (c). Stoga je njegovo polje na većim udaljenostima polje magnetskog dipola koji ima moment $\vec{m} = \frac{e|v|r}{2}$ impulsni moment je konst. gibanja.

=> kad god je impulsni moment zbog gibanja u stazi sačuvan, onda je i magnetski moment zbog toga gibanja stabilan po iznosu i smjeru.

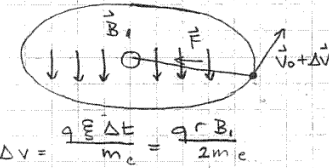
Zašto ne opažamo magnetska polja svih elektrona koji kruže u atomima u svakoj tvari? Odgovor je očito u njihovom međusobnom poništavanju. U komodu obične, nemagnetizirane tvari jednak broj elektrona kruži u jednom i u suprotnom smjeru. To treba očekivati jer nema razloga da jedan smjer vrtnje ima prednost pred drugim, odnosno da se na neki način istakne određena os vrtnje. U grodi tvari morao bi postojati način da se izabere ne samo os vrtnje već i smjer vrtnje oko osi. U odsutnosti magnetskog polja može se zamisliti da komad neke tvari sadrži elektrone u putanjama tako da su njihovi stazni impulsni momenti i njima pridruženi magnetski momenti jednoliko raspodijeljeni po svim smjerovima u prostoru.

Učinak uključivanja magnetskog polja: → Povećanje magnetskog polja \vec{B} inducira električno polje koje ubrzava kruženje nabijenog tijela.

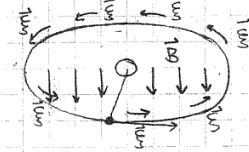
(a) početno stanje ($\vec{B} = 0, \vec{F}_e = \frac{mv^2}{r}$)



(b) konačno stanje nakon vremena $\Delta t, \vec{B} = \vec{B}_1$



(b) Međustanje (B raste prema dolje, $\vec{E} = r \frac{dB}{dt}$)



zakon indukcije

$$E = - \frac{d\Phi}{dt} \quad \Phi(t) = \int \vec{B} \cdot d\vec{a} \quad I = \frac{qI_0}{2\pi r}$$

inducirana elektromotorna sila

$$E = + \frac{d}{dt} B r^2 \pi = r^2 \pi \frac{dB}{dt}$$

$$\int \vec{E} \cdot d\vec{l} = 2\pi r E = \pi r^2 \frac{dB}{dt}$$

$$\Rightarrow E = \frac{r}{2} \frac{dB}{dt}$$

pp zbog simetrije da je polje isto u svakom kutu putonje

→ svaki elektron nastavlja svoje okretanje s istim polumjerom staze, a njegova kutna brzina, koja je iznosila $\pm v_0/r$ ovisna o smjeru vrtnje dobiva momenat dodotok $\Delta\omega = \Delta v/r$ ($\Delta\omega = \frac{qB_1}{2m_e}$) svaka vrtnja u jednom smjeru ubrzava se za taj iznos, a svaka vrtnja u suprotnom smjeru usporava se za isti iznos.

→ Uzeli smo polje u smjeru negativne z osi i promatrali putonje u ravnini na koju je polje \vec{B} okomito:

$$m_e dt = qE = \frac{q r}{2} \frac{dB}{dt} \Rightarrow dv = \frac{q r}{2 m_e} dB$$

$$\Rightarrow \Delta v = \int_{v_0}^{v_0 + \Delta v} dv = \frac{q r}{2 m_e} \int_{B_0}^{B_1} dB = \frac{q r B_1}{2 m_e}$$

Iznos promjene magn. momenta: $\Delta m = - \frac{q^2 r^2}{4 m_e} B_1$ (*)
 Larmorova frekvencija $\Delta\omega = \frac{\Delta v}{r} = \frac{|e| B}{2 m_e}$ $\Delta m = \frac{q r}{2} \Delta v$

→ Grubo govoreći nosi zaključci odnose se na trećinu elektrona u tvari jer imamo tri međusobno okomita smjera → putonje koje leže u ravninama koje su usporedne xz i yz ravninama

Učinak svih putonja može se zadržati u jednoj (*), u kojoj r^2 zamijenimo $\langle r^2 \rangle$ tj. s prosječnom vrijednošću kvadrata polumjera putonja, a dolazi i množenje koji uzima u obzir usrednjene po usmjerenjima putonja

Dakle, na osnovu gibanje superponira se gibanje oko \vec{B}

- precesija elektrona proizvodi struju:

$$I = e \frac{|\omega_L|}{2\pi}$$

→ gledamo INDUCIRANI DOPRINOS; originalni atomski je u projekciji jednake nuli!

Inducirana struja:

$$I = \text{naboj} \times \frac{\text{broj okreta}}{\text{jedinici vremena}} = e \frac{|\omega_L|}{2\pi}$$

$$\vec{\omega}_L = -\frac{e\vec{B}}{2mc}$$

$$\omega_L = \frac{eB}{2mc}$$

(za malo polje)

$\omega_L = \frac{\omega_c}{2}$ jer je e^- vezan na jezgru (odatle faktor 2)

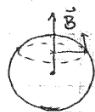
↳ Larmorova frekvencija

$$I = -\frac{e^2 B}{4\pi mc}$$

$$|e| = -e$$

* Dodatak: Larmorova precesija

sila u atomu



Vanjsko polje $\Rightarrow m \frac{d\vec{v}}{dt} = \vec{F} + \frac{e}{c} \vec{v} \times \vec{B}$

↓ sila zbog \vec{B}

$$e = -|e|$$

Transformiramo jednačbu u sustav u kojem na e^- djeluje samo sila \vec{F} (atomska) tj. ne "vidi" \vec{B} :

$$m \frac{d\vec{v}'}{dt} = \vec{F}' = \vec{F} + \frac{e}{c} \vec{v}' \times \vec{B} - \underbrace{2m(\vec{\omega}_L \times \vec{v}')}_{\text{Coriolisova sila}} - \underbrace{m\vec{\omega}_L \times (\vec{\omega}_L \times \vec{r}')}_{\text{centrifugalna sila, zanemari se jer } v \gg r\omega}$$

$\vec{F}' = \vec{F} \Rightarrow$ sustav je izabran baš tako da se to poništi

$$\Rightarrow \frac{e}{c} \vec{v}' \times \vec{B} = 2m(\vec{\omega}_L \times \vec{v}') \Rightarrow -\frac{e}{c} \vec{B} \times \vec{v}' = 2m(\vec{\omega}_L \times \vec{v}')$$

$$\Rightarrow -\frac{e\vec{B}}{2mc} \times \vec{v}' = \vec{\omega}_L \times \vec{v}' \Rightarrow \vec{\omega}_L = -\frac{e}{2mc} \vec{B} = \frac{|e|\hbar}{2mc} \vec{B}$$

Odatle slijedi: Larmorov teorem: možemo odobiti tloku sustav elektrona u vanjskom polju (magnetskom, homogenom) koji se u odnosu na stari rotira frekvencijom $\vec{\omega}_L = -\frac{e}{2mc} \vec{B}$ i u kojem elektron ne osjeća vanjsko polje već samo svoje "originalno" polje. Tad se efekt vanjskog polja svodi na to da se mijenja kutna brzina pribrzji brzina precesije a to je upravo ω_L !

Dodajmo još radi potpunosti i angularni moment: - gledamo inducirani angularni moment:

$$\begin{aligned} \Delta \vec{L} &= \vec{L} - \vec{L}_0 = \vec{r} \times \vec{p} - \vec{r} \times \vec{p}_0 = m \vec{r} \times (\vec{\omega} \times \vec{r}) - m \vec{r} \times (\vec{\omega}_0 \times \vec{r}) \\ &= m \vec{r} \times [(\vec{\omega} - \vec{\omega}_0) \times \vec{r}] = m \vec{r} \times (\vec{\omega}_L \times \vec{r}) = m \vec{\omega}_L r^2 - m \vec{r} \times (\vec{\omega}_L \times \vec{r}) \\ &= -m [\hat{x} \cdot xz\omega_L + \hat{y} \cdot yz\omega_L + \hat{z} \cdot (z^2 - r^2)\omega_L] \end{aligned}$$

$$\langle \Delta \vec{L} \rangle = -m \omega_L [\hat{x} \langle xz \rangle + \hat{y} \langle yz \rangle + \hat{z} \langle (z^2 - r^2) \rangle]$$

neparna funkcija na simetričnom intervalu

$$= -\frac{2}{3} \langle r^2 \rangle$$

$$\langle x^2 \rangle = \langle y^2 \rangle = \langle z^2 \rangle$$

$$\Rightarrow \langle z^2 \rangle = \frac{1}{3} \langle r^2 \rangle$$

$$\Rightarrow \langle \Delta \vec{L} \rangle = \frac{2}{3} m \omega_L \hat{z} \langle r^2 \rangle$$

$$\langle \Delta \vec{L} \rangle = \frac{2}{3} m \vec{\omega}_L \langle r^2 \rangle$$

$$\langle \vec{\mu} \rangle = \frac{e}{2mc} \langle \Delta \vec{L} \rangle =$$

$$= -\frac{e}{2mc} \frac{2}{3} m \frac{e\vec{B}}{2mc} \langle r^2 \rangle$$

$$\Rightarrow \langle \vec{\mu} \rangle = -\frac{e^2}{6mc^2} \langle r^2 \rangle \vec{B}$$

\Rightarrow inducirani magnetski moment $\mu = |\vec{\mu}| = |I| \overbrace{S}^{\text{površina}} = |I| \pi r^2$
površina: krug okomit na smjer polja (u xy ravnini) → radijus po kojem se elektron kreće

$$\vec{S} = \pi (x^2 + y^2) \hat{\omega}_L = \pi S^2 \hat{\omega}_L$$

$$\& I = -\frac{e^2 B}{4\pi mc}$$

$$\hat{\omega}_L = \hat{B}$$

$$\Rightarrow \vec{\mu} = \frac{1}{\alpha} I \cdot \vec{S} = -\frac{e^2 B}{4\pi mc^2} \pi S^2 \hat{B}$$

$$\Rightarrow \left[\vec{\mu} = \left(-\frac{e^2}{4mc^2} S^2 \vec{B} \right) \right]$$

→ inducirani magnetski moment $\vec{\mu}$ je suprotnog smjera od \vec{B} → var se "izvlači" iz polja

↳ Lenzovo pravilo

S - radijus gibanja u atomu zadan silama jezgre

Proračun magnetizacije

$$r^2 = x^2 + y^2 + z^2 \Rightarrow \text{zbog sferno-simetrične raspodjele:}$$

↳ udaljenost elektrona od jezgre

$$\langle x^2 \rangle = \langle y^2 \rangle = \langle z^2 \rangle = \frac{1}{3} \langle r^2 \rangle$$

srednji kvadratni radijus elektronskog oblaka

→ srednji radijus u xy ravnini:

$$\langle S^2 \rangle = \langle x^2 \rangle + \langle y^2 \rangle = \frac{2}{3} \langle r^2 \rangle = \frac{2}{3} r_H^2$$

↳ Bohrov radijus

(faktor $\frac{2}{3}$ zbog projekcije na jednu ravninu \perp na \vec{B})
($\langle S^2 \rangle$ prognoziramo kao da nema \vec{B} (perturbativno))

$$\Rightarrow \langle \vec{\mu} \rangle_{\text{elektron}} = -\frac{e^2}{4mc^2} \langle S^2 \rangle \vec{B} = -\frac{e^2}{6mc^2} \langle r^2 \rangle \vec{B}$$

↳ magnetski moment i-tog elektrona

Larmorov teorem: u magnetskom polju je kretanje elektrona oko jezgre isto kao i bez \vec{B} (u 1. aprox.) ali mu se superponira precesija s frekvencijom

$$\omega_L = \frac{eB}{2mc}$$

(mog. mom. po jedinici volumena)

$$\vec{M}_{\text{kristala}} = \sum_j \text{konzentracija } (j) \times \vec{\mu}_{\text{atom}} \quad \downarrow \text{vrsta atoma}$$

Kod su svi atomi iste vrste: n - koncentracija, Z broj elektrona u atomu.

$$\vec{M}_{\text{kristal}} = - \frac{n e^2 \vec{B}}{4 m c^2} \sum_{i=1}^Z \langle \vec{e}_i^2 \rangle = - \frac{n e^2 Z}{6 m c^2} \vec{B} \cdot \frac{1}{Z} \sum_{i=1}^Z \langle \vec{r}_i^2 \rangle = - \frac{n e^2 Z}{6 m c^2} \langle r^2 \rangle \vec{B} \quad (\text{prosjeak})$$

$$\Rightarrow \vec{M}_{\text{kristal}} = - \frac{n e^2 Z \langle r^2 \rangle}{6 m c^2} \vec{B} = \chi_{\text{kristala}} \vec{B} \quad \leftarrow \begin{array}{l} \text{shvaća se} \\ \text{su proširilo} \\ \text{vanjskom} \\ \text{mog. polju} \end{array}$$

$$\Rightarrow \chi_{\text{kristala}} = - \frac{n e^2 Z}{6 m c^2} \langle r^2 \rangle < 0 \quad \leftarrow \begin{array}{l} \text{Lenzovo pravilo} \\ \text{uzorak dijamagnetski} \\ \text{se, izlazi iz} \\ \text{polja} \end{array}$$

$$\vec{\mu}_{\text{atoma}} = - \frac{Z e^2}{6 m c^2} \langle r^2 \rangle \vec{B} = \chi_{Lg} \vec{B}$$

$\langle r^2 \rangle \approx r_H^2$
(Coulombovska veličina koji nameće jezgra)

Langerinova susceptibilnost: negativna

$$\chi_{Lg} = - \frac{Z e^2}{6 m c^2} r_H^2$$

$$\chi_{\text{atom}} = - \frac{Z e^2}{6 m c^2} \langle r^2 \rangle \frac{1}{V_{\text{atom}}}$$

↳ dijamagnetski doprinos dubokdezećih elektrona

Svojstva susceptibilnosti:

Svojstva susceptibilnosti:

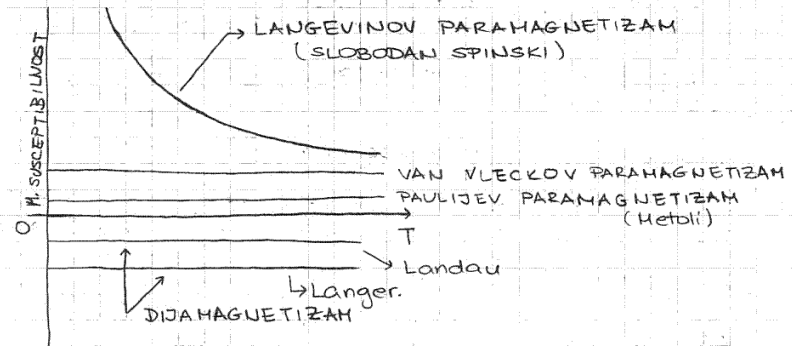
- 1) χ raste s porastom rednog broja u grupi jer raste Z i $\langle r^2 \rangle$
- 2) $\chi \ominus$ iona je veća, a $\chi \oplus$ iona je manja: od χ odgovarajućeg plemenitog plina (\Rightarrow zbog elektrostatskih sila su dimenzije \ominus iona veće (odbijanje elektrona))
- 3) χ dijamagnetsko ne ovisi o T (energija el. plina zbog Paul. pr. čak i na $T=0$ je dosta velika pa je termičko pobuđenje zanemarljivo)
- 4) vodeći doprinosi - elektroni najviših ljusaka (protegnutost njihovih valnih funkcija je najveća)

Trebamo doprinos i slobodnih elektrona u mog. polju.

→ Landauov dijamagn. → sl. elektroni u metalima.

$$\chi_{Lg} \sim \langle r^2 \rangle$$

② Dodatak: Karakteristična magnetska susceptibilnost dijamagnetskih i paramagnetskih tvari



Dijamagnetizam: Povezan je s tendencijom naboga da djelomično zakloni unutrašnjost tijela od primijenjenog magnetskog polja. Lenzovo pravilo: Promjena toka kroz električni krug izaziva struju tokvog smjera da se suprotstavlja promjeni toka.

Atom: magnetsko polje koje proizvodi inducirana struja suprotno je primijenjenom polju \Rightarrow dijamagnetski moment. Tvar se "izlazi" iz polja.

Paramagnetizam: Atomi imaju permanentni dipolni magnetski moment. Bez magnetskog polja orijentacija je nasumična, $\vec{M}=0$. Kod se uključi polje, orijentiraju se u smjeru polja, $\chi > 0$. Tvar se "ući" u polje!

② LANDAUOV DIJAMAGNETIZAM → za slobodne elektrone u metalima

→ slobodni elektroni u metalima (QM efekt jer klasični elektronski plin nema magnetizaciju)

Utjecaj magnetskog polja: u hamiltonijanu $\vec{p} \rightarrow \vec{p} - \frac{e}{c} \vec{A}$

$$\& \text{ s. E } \quad H\psi = E\psi \Rightarrow \frac{1}{2m} \left[-i\hbar \vec{\nabla} - \frac{e}{c} \vec{A} \right]^2 \psi = E\psi$$

↳ hamiltonijan sustava slobodnih elektrona u vanjskom polju

Tražimo stacionarna stanja. Izabiremo:

$$\vec{A} = (0, Bx, 0) \Leftrightarrow \vec{B} = (0, 0, B)$$

$$\vec{A} = -\frac{1}{2} \vec{r} \times \vec{B}$$

$$\vec{A} = -\frac{1}{2} \begin{vmatrix} \hat{x} & \hat{y} & \hat{z} \\ x & y & z \\ 0 & 0 & B \end{vmatrix} = -\frac{1}{2} B y \hat{x} + \frac{1}{2} B x \hat{y}$$

↳ Landauov baždarenje

$$-\frac{\hbar^2}{2m} \left[\vec{\nabla} + \frac{e}{i\hbar c} \vec{A} \right]^2 \psi = E\psi$$

↳ $Bx \hat{y}$

$$\left[\hat{x} \frac{\partial}{\partial x} + \hat{y} \frac{\partial}{\partial y} + \hat{z} \frac{\partial}{\partial z} + \hat{y} \frac{eB}{i\hbar c} x \right]^2 \psi + \frac{2mE}{\hbar^2} \psi = 0$$

gauge:

$$\vec{A} \rightarrow \vec{A} + \vec{\nabla} \Lambda$$

neka je

(izabiremo)

$$\vec{\nabla} \Lambda = \frac{1}{2} B y \hat{x} + \frac{1}{2} B x \hat{y}$$

$$\Rightarrow \vec{A} = Bx \hat{y}$$

$$\left[\hat{x} \frac{\partial}{\partial x} + \hat{y} \left(\frac{\partial}{\partial y} - \frac{ieB}{\hbar c} x \right) + \hat{z} \frac{\partial}{\partial z} \right] \psi + \frac{2mE}{\hbar^2} \psi = 0$$

$$\frac{\partial^2 \psi}{\partial x^2} + \left(\frac{\partial}{\partial y} - \frac{ieB}{\hbar c} x \right)^2 \psi + \frac{\partial^2 \psi}{\partial z^2} + \frac{2mE}{\hbar^2} \psi = 0 \quad (*)$$

↳ vidimo da je u z smjeru elektron slobodan \Rightarrow ravni val

$$\psi_z \sim e^{ik_z z}$$

u x i y smjeru nam se nešto događa $\Rightarrow \psi(x, y, z) = \psi(y, z) u(x)$

$$\left(\frac{\partial}{\partial y} - \frac{ieB}{\hbar c} x \right) \left(\frac{\partial \psi}{\partial y} - \frac{ieB}{\hbar c} x \psi \right) = \frac{\partial^2 \psi}{\partial y^2} - 2 \frac{ieB}{\hbar c} x \frac{\partial \psi}{\partial y} - \frac{e^2 B^2}{\hbar^2 c^2} x^2 \psi$$

Rješenje (*) možemo zapisati u obliku:

$$\psi(x, y, z) = e^{i(k_y y + k_z z)} u(x) \quad \psi_{yz} = e^{i(k_y y + k_z z)}$$

$$\Rightarrow \psi_{yz} \frac{\partial^2 u}{\partial x^2} + \left(ik_y - \frac{ieB}{\hbar c} x \right) \psi_{yz} u_x - k_z^2 \psi_{yz} u_x + \frac{2mE}{\hbar^2} \psi_{yz} u = 0$$

$$\Rightarrow \frac{\partial^2 u_x}{\partial x^2} + \left[\frac{2mE}{\hbar^2} - k_z^2 - \left(k_y - \frac{eB}{\hbar c} x \right)^2 \right] u_x = 0$$

$$\equiv \frac{2mE'}{\hbar^2}$$

$$\Rightarrow \frac{d^2 u}{dx^2} + \left[\frac{2mE'}{\hbar^2} - \left(k_y - \frac{eB}{\hbar c} x \right)^2 \right] u = 0 \quad E' = E - \frac{\hbar^2 k_z^2}{2m}$$

- z smjer: gibanje je isto kao i za slobodan elektron ($E = \frac{\hbar^2 k_z^2}{2m}$)
- xy smjer: nova jednačina (pomicemo koordinate da dobijemo ishodište)

$$-\frac{\hbar^2}{2m} \frac{\partial^2 u(x)}{\partial x^2} + \frac{1}{2m} \left[\frac{eB}{c} x - \hbar k_y \right]^2 u(x) = E' u(x)$$

$$-\frac{\hbar^2}{2m} \frac{\partial^2 u(x)}{\partial x^2} + \frac{m \omega_c^2}{2} \left(x - \frac{\hbar k_y}{m \omega_c} \right)^2 u(x) = E' u(x)$$

$\equiv x_0$ (centar, ishodište oko kojeg se rotira)

$$\Rightarrow E' = \left(n + \frac{1}{2} \right) \hbar \omega_c$$

$$\Rightarrow E = \left(n + \frac{1}{2} \right) \hbar \omega_c + \frac{\hbar^2 k_z^2}{2m}$$

u 2D problemu odbojemo taj član

$$x_0 = \frac{\hbar k_y}{m \omega_c}$$

\rightarrow translaciona energija duž osi || magnetskom polju (*) + energija ciklotronskog gibanja b na B.

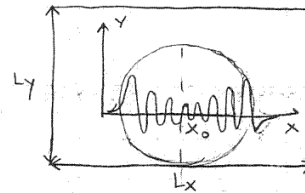
Brojanje stanja:

Zamislimo kutiju L_x, L_y, L_z ; iz jednačine za ψ čitamo:

$$\psi = e^{ik_y y} \cdot e^{ik_z z} \cdot u(x) \Rightarrow k_z = \frac{2\pi}{L_z} N_z, \quad k_y = \frac{2\pi}{L_y} N_y$$

$$y \text{ od } 0 \rightarrow L_y \Rightarrow k_y L_y = 2N_y \pi \Rightarrow k_y = \frac{2\pi}{L_y} N_y \quad (\text{periodički rubni uvjet})$$

Važno: $E \neq f(k_y)$, za neki n možemo imati bilo koji k_y (iz ∞ skupa). Ali " k_y " određuje mjesto centriranja funkcije $u(x) \Rightarrow x = x_0$!



$$x_0 = \frac{\hbar k_y}{m \omega_c} = \frac{y_0}{\omega_c}$$

Ako se elektron počne gibati u y smjeru brzinom v_y gibat će se kružno oko x_0 !

Diferencijalna jednačina ne sadrži periodička rješenja, ne možemo tražiti $k_x = \frac{2\pi}{L_x} n$, nego je novi uvjet izazovan: $u(x)$ u 0 i L_x . To je dobro ispunjeno ako x_0 nije previše blizu ruba.

$\Rightarrow x_0$ mora biti u kutiji: $0 < x_0 < L_x$! To ograničava k_y na:

$$\Rightarrow 0 < k_y < \frac{m \omega_c}{\hbar} L_x = \frac{eB}{\hbar c} L_x \quad \text{Gornji uvjet: } k_y = \frac{2\pi}{L_y} N \text{ daje}$$

$$\omega_c = \frac{eB}{mc}$$

ukupan broj različitih k_y : $0 < \frac{2\pi}{L_y} N < \frac{m \omega_c}{\hbar} L_x \quad / : \frac{2\pi}{L_y}$

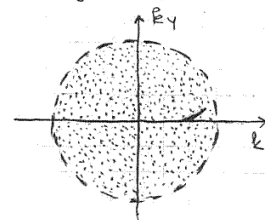
$$\Rightarrow 0 < N < \frac{m \omega_c}{2\pi \hbar} L_x L_y \Rightarrow N = \frac{m \omega_c}{2\pi \hbar} L_x L_y \quad \forall E_n$$

\hookrightarrow broj

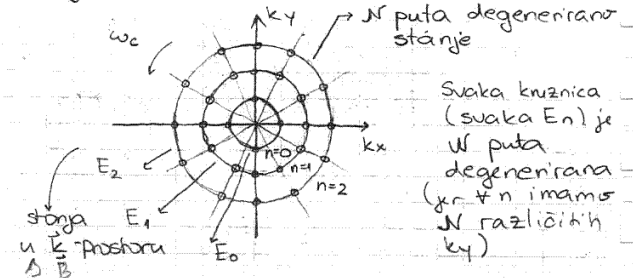
\Rightarrow Energija ne ovisi o k_y , a svaka $E_n(k_z)$ je N -puta degenerirana.

2D (k_x, k_y) :

! Izgled traektorija u \vec{k} prostoru: u (k_x, k_y) imamo HO \Rightarrow kružnice, na svakoj N stanja (degeneracija). Prije uključivanja polja stanja su bila jednoliko raspodijeljena po krugu. Poslije uključivanja polja \Rightarrow na kružnicama, rotiraju oko x_0 frekvencijom ω_c .



stanja u \vec{k} -prostoru bez B



Svaka kružnica (svaka E_n) je N puta degenerirana (jer n imamo N različitih k_y)

To pokazuje da je broj stanja ostao nepromijenjen u velikom polju \vec{B} .

Koristimo formulu za ciklotronsku masu: $m_c = \frac{\hbar^2}{2\pi} \frac{\partial A}{\partial E}$

$\Rightarrow SA = \frac{2\pi m_c}{\hbar^2} SE$; $\frac{\text{Broj stanja}}{\text{jed. površ. u k-prostoru}} = \frac{L_x L_y}{(2\pi)^2}$ (u 3D)

$(SA = 2\pi k_x k_y)$; $\frac{L_x L_y L_z}{(2\pi)^3}$ (bez \vec{B})

$\frac{L_x L_y}{(2\pi)^2} \Rightarrow$ gustoba stanja u k-prostoru.

Gustoba stanja bez \vec{B} : (u E-prostoru)

$k_x = \frac{2\pi}{L_x} N_x$; $k_y = \frac{2\pi}{L_y} N_y$

$dk_x = \frac{2\pi}{L_x} dN_x$; $dk_y = \frac{2\pi}{L_y} dN_y$; $\Rightarrow dk_x dk_y = \frac{(2\pi)^2}{L_x L_y} dN_x dN_y$

$\Rightarrow \frac{dN_x dN_y}{dk_x dk_y} = \frac{L_x L_y}{(2\pi)^2}$ (2D)

Pretpostavimo da je SE kvant ciklotronskog gibanja $SE = \hbar \omega_c \Rightarrow$ ukupan broj stanja u prstenu širine SE:

$N = \frac{L_x L_y}{(2\pi)^2} \cdot SA = \frac{2\pi m_c}{\hbar^2} \frac{L_x L_y}{\omega_c} = \frac{m_c \omega_c}{2\pi \hbar} L_x L_y = N$

$SA = \frac{2\pi m_c}{\hbar^2} SE = \hbar \omega_c$

$N = \frac{m_c \omega_c}{2\pi \hbar} L_x L_y = N$ (degeneriranih stanja)

Ovaj rezultat pokazuje da je efekt magnetskog polja takav da stvori kvantizirane orbite i da gurne slobodno-elektronska stanja na najbliže orbite (a ne da stvori ili poništi stanja!).

U općem slučaju gledamo kvazi-slobodne elektrone u kristalu \rightarrow VRPCE \rightarrow Onsagerova generalizacija Landauovog rezultata za slobodne elektrone (AM-271)

Za vrpce: Radimo u poluklasičnoj aproksimaciji (Onsagerova generalizacija) (m polje ne može se tretirati računom smetnje jer on kvantizirani spektar ostavlja kontinuiranim a smetnje u x i z su vrlo mala a \hbar se rasprostire po velikom području)

Uvod: Izvod za period u magnetskom polju:

$\hbar \vec{k} = \frac{e}{c} \vec{v} \times \vec{B} = \frac{e}{c} v_{\perp} \cdot \hat{n}$; $|\vec{v}| \sin \varphi = v_{\perp}$

$\vec{v} \times \vec{B} = \hat{n} |\vec{v}| B \sin \varphi$

$\frac{d\vec{k}}{dt} = \frac{e}{\hbar c} v_{\perp} \cdot \hat{n} \Rightarrow \frac{\hbar d\vec{k}}{dt} = \frac{e}{c} v_{\perp} \hat{n}$

$\Rightarrow T = \frac{\hbar c}{eB} \oint \frac{d\vec{k} \cdot \hat{n}}{v_{\perp}} = \frac{\hbar c}{eB} \frac{m}{\hbar} \oint \frac{d\vec{k} \cdot \hat{n}}{k_{\perp}}$; $d\vec{k} = d\vec{k}_{\perp} + d\vec{k}_{\parallel}$; $d\vec{k}_{\parallel} \cdot \hat{n} = 0$

$= \frac{\hbar c}{eB} \frac{m}{\hbar} \oint \frac{d\vec{k}_{\perp} \cdot \hat{n}}{k_{\perp}} = \frac{\hbar c}{eB} \frac{m}{\hbar} \int_0^{2\pi} d\varphi = \frac{m c}{eB} \cdot 2\pi$

$m_c = \frac{\hbar^2}{2\pi} \frac{\partial A}{\partial E}$; $\hat{m} \perp \hat{n}$

$\Rightarrow T = \frac{2\pi \hbar c}{eB} \frac{\hbar^2}{2\pi} \frac{\partial A}{\partial E} \Rightarrow T = \frac{\hbar^2 c}{eB} \frac{\partial A}{\partial E}$ (4)

Kvantizacija orbita: glavni doprinosi e^- za $E_{n+1} - E_n \approx (n \sim 10^4)$

Rješenja u magnetskom polju zadovoljavaju princip korespondencije za velike kvantne brojeve, a kvantiziramo ga Bohr-Sommerfeldovim uvjetom:

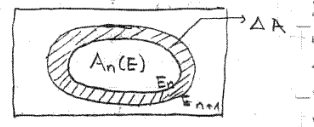
$\oint \vec{p} \cdot d\vec{r} = (n + \frac{1}{2}) 2\pi \hbar$; γ je fazna korekcija (uzima se = 1/2)

$E_{n+1}(k_z) - E_n(k_z) = \frac{2\pi \hbar}{T(E_n(k_z), k_z)}$

ovaj daje princip korespondencije: $\Delta E = \hbar \omega_c$; $\Rightarrow T(E, k_z) = \frac{\hbar^2 c}{eB} \frac{\partial A(E, k_z)}{\partial E}$

$\Rightarrow \Delta E \frac{\partial A}{\partial E} = \frac{2\pi e B}{\hbar c}$

$L = T - U = \frac{m v^2}{2} - U(r)$; $\int_{t_0}^{t_1} L dt = \int_{r_0}^{r_1} \frac{m}{2} \left(\frac{dr}{dt}\right)^2 dt = \int_{r_0}^{r_1} \frac{m}{2} v dr$

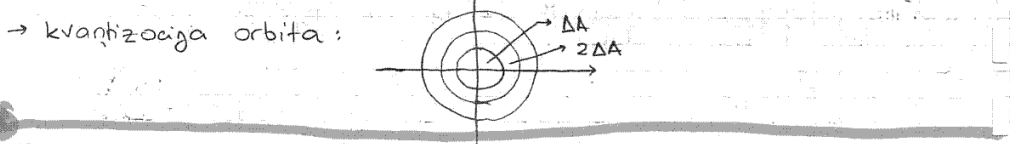


E_n je reda E_F , znači da je $\Delta E \sim \hbar \omega_c$ što je 10^{-4} puta manje od pojedinačnih energija ($n \sim 10^4$)

$\Rightarrow \frac{\partial A}{\partial E} = \frac{A(E_{n+1}) - A(E_n)}{E_{n+1} - E_n} \Rightarrow A(E_{n+1}) - A(E_n) = \frac{2\pi e B}{\hbar c} \Delta A$

\hookrightarrow razlika površina koju zatvaraju uzastopne orbite.

Za veliki n: $A(E_n(k_z), k_z) = (n + \frac{1}{2}) \Delta A \Rightarrow$ Onsagerov rezultat \rightarrow



[AM 272 str] Dakle, Onsagerova generalizacija Landauovog rezultata za slobodne elektrone vrijedi samo za magnetske nivoe sa velikim kvantnim brojevima (za E_F $n \sim 10^4$). Energije nivoe sa velikim kvantnim brojevima mogu se prilično točno izračunati pomoću Bohrovog principa korespondencije koji kaže da je razlika u energiji između dva uzastopna nivoea Planckova konstanta \times frekvencija klasičnog gibanja na energiji nivoea. Budući je k_z konstanta semiklasičnog gibanja primjenjujemo tog uvjet na nivoe sa specifičnim k_z i kvantnim brojevima $n, n+1$.

Neka je $E_n(k_z)$ energija n-tog dozvoljenog nivoea za dani k_z (razmotrimo jednu vrpcu i ispuštimo indeks vrpce. Da je potrebno razmotriti više vrpce $\Rightarrow E_{n, \nu}(k_z)$ gdje je ν indeks vrpce, a n magnetski kvantni broj).

Princip korespondencije daje:

$E_{n+1}(k_z) - E_n(k_z) = \frac{\hbar}{T(E_n(k_z), k_z)}$

gdje je $T(E, k_z)$ period semiklasičnog gibanja u orbiti specificiranoj sa E i k_z .

$$T(E, k_z) = \frac{h^2 c}{eB} \frac{\partial A(E, k_z)}{\partial E}$$

$A(E, k_z)$ površina zatvorena orbitom u k -prostoru.

=> (ako je k_z specificiran) možemo pisati:

$$(E_{n+1} - E_n) \frac{\partial}{\partial E} A(E_n) = \frac{2\pi eB}{hc}$$

Budući nas interesira E_n reda E_F možemo uvelike pojednostaviti prethodnu relaciju. Na temelju rezultata za slobodne elektrone očekujemo da je razlika između susjednih Landau nivoa reda $h\omega_c$ što je 10^{-4} puta manje od energije samih nivoa.
=> odlična aproksimacija:

$$\frac{\partial}{\partial E} A(E_n) = \frac{A(E_{n+1}) - A(E_n)}{E_{n+1} - E_n}$$

$$\Rightarrow A(E_{n+1}) - A(E_n) \approx \frac{2\pi eB}{hc} \Rightarrow \Delta A = \frac{2\pi eB}{hc} \epsilon_j$$

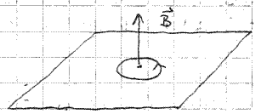
$A(E_n(k_z), k_z) = (n+1/2) \Delta A$ gdje je ΔA neovisan o n (a mi uzimamo da je neovisan i o k_z - što vidi za elipsoidalnu vrpca). To je poznati Onsagerov rezultat koji je originalno izveden na alternativni način konstanti Bohr-Sommerfeldov kvantizaciji ujet.

$$\oint \vec{p} \cdot d\vec{r} = (n+1/2) 2\pi \hbar = (n+1/2) h \quad \rightarrow \text{fazna korekcija}$$

$$\rightarrow \text{princip korespondencije daje: } E_{n+1}(k_z) - E_n(k_z) = \frac{2\pi \hbar}{T(E_n(k_z))}$$

Izgled vrpca:

- imamo sl. el. u polju \vec{B} $\omega_c = \frac{eB}{mc}$ ciklotronska masa = slobodna masa
- uzimamo 3D el. plin; zadržujemo gibanje duž z -osi (to je translaciono gibanje, ne zanima nas)



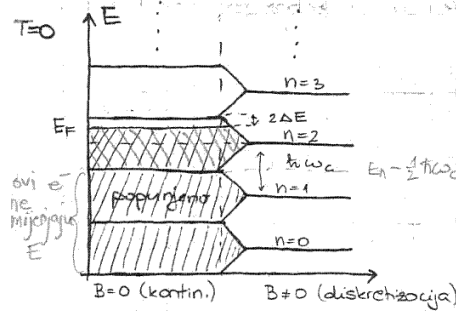
$(\vec{p} - \frac{e}{c} \vec{A})^2$ $\rightarrow h$ u raznim gauge-ima ali u svakom baždarenju:

$$E_n = \hbar \omega (n + \frac{1}{2})$$

\rightarrow odgovara 2D HO - nivoi degenerirani.

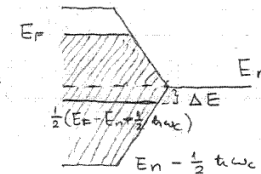
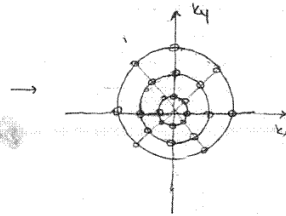
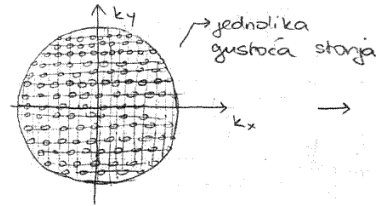
- \rightarrow ekvidistantni nivoi
- \rightarrow cijepanje na pogoršave
- \rightarrow prosječna energija mije se promijenila

220



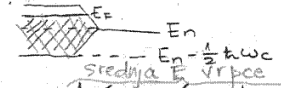
$$E_n = \hbar \omega_c (n + \frac{1}{2}) \rightarrow \text{odgovara 2D HO.}$$

$$\Delta E = -\frac{\partial E}{\partial n} \left[(E_F - E_n)^2 - \frac{\hbar^2 \omega_c^2}{4} \right]$$



Sve promjene E dolaze od zadržeg sloja (po običaju sve se događa u blizini E_F)

Ukupna energija ovakvog sustava je promijenjena zbog uključivanja polja B . ΔE popunjenih ploha je = 0, ali mijenja se energija djelomično popunjene posljednje plohe:



$$\Delta E = \left[E_n - \frac{1}{2} (E_F + (E_n - \frac{1}{2} \hbar \omega_c)) \right] \cdot N_F$$

$$N_F = \left[E_F - (E_n + \frac{1}{2} \hbar \omega_c) \right]$$

Srednja promjena energije 1 elektrona
 \rightarrow gustoća stanja na Fermi nivou
 \rightarrow broj elektrona koji idu na n-ti nivo (SQ)

$$\Delta E = \delta E S Q$$

\rightarrow samo elektroni s energijom $E_n - \frac{1}{2} \hbar \omega_c < E < E_F$ ulaze u igru.

\rightarrow ovdje smo pp da je gustoća stanja oko E_F konstantna tj. $N_F = \text{etc.}$

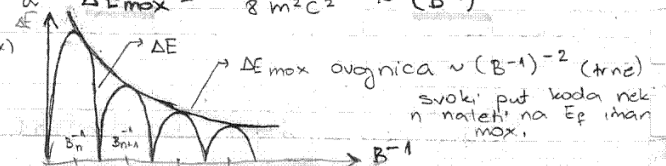
Ako je zadržna vrpca prazna (ili puna): $E_F = E_n \pm \frac{\hbar \omega_c}{2}$, $\Rightarrow \Delta E = 0$.

Ujet maksimuma ΔE : $E_F = E_n = \hbar \omega_c (n + \frac{1}{2}) \Rightarrow \Delta E = \text{max} = \frac{\hbar^2 \omega_c^2}{8}$
 \Leftrightarrow POLUPOPUNJENA zadržna ploha, (svi e^- odu gore u energiji)

$$E_F = \hbar \frac{eB_n}{mc} (n + \frac{1}{2}) \Rightarrow B_n = \frac{m_e c \cdot E_F}{e \hbar (n + 1/2)} \rightarrow B_n^{-1} = \frac{e \hbar}{m_e c E_F} (n + \frac{1}{2})$$

$$(\text{polupopunjeno}) \quad \Delta E_{\text{max}} = \frac{N_F \hbar^2 e^2 B_n^2}{8 m^2 c^2} \sim (B^{-1})^{-2}$$

B_n^{-1} su ekvidistantni (zgodno za crtanje)
Na skali $1/B$ maksimumi su ekvidistantni, također!



- kako raste polje šire se razmaci nivoa E_n (mijenja se ω_c)
- ω_c raste, B_n pada \Rightarrow maksimumi na (*) su sve manji

$$\frac{1}{B_n} = \frac{\hbar e}{m_e E_F} \left(n + \frac{1}{2} \right)$$

\hookrightarrow bitno da se dogode na skali $1/B$: ekvidistantni maksimumi i minimumi (svaki put kod E_n prođe kroz E_F ΔE je max., svaki put za drugi B_n dobivamo max.)

De Haas van Alphenov efekt (niske T i visoka B)

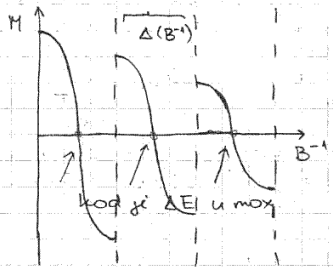
$$M = \frac{\partial \Delta E}{\partial B} \text{ magnetizacija oscilira}$$

E_{plina} ovisi o \vec{B} ; χ oscilira s promjenom \vec{B} jer

$$\chi = -\frac{1}{V} \frac{\partial^2 E_{plina}}{\partial B^2} \quad \left(\text{vidjet ćemo kasnije} \right)$$

\hookrightarrow (superpozicija nekoliko perioda)

To znači da magnetijski moment stvoren orbitalnim gibanjem elektrona oscilira (ekvidistantno na skali B^{-1})



$$\Delta E_{max} = \frac{n F \hbar^2 e^2 B_n^2}{8 m^2 c^2}$$

$$\left| \Delta \frac{1}{B} \right| = \frac{e \hbar}{m_e c E_F} \left(n + \frac{1}{2} \right)$$

$$\frac{1}{\Delta B} = - \frac{\Delta B_n}{B_n^2} = \frac{e \hbar}{2 m_e c E_F} \quad \Delta \frac{1}{B} = - \frac{\Delta B}{B^2}$$

$$\Rightarrow \Delta(B_n^{-1}) = \frac{e \hbar}{2 m_e c E_F}$$

\hookrightarrow Oscilacije M-a na skali $1/B$ su ekvidistantne

\hookrightarrow udaljenost između oscilacija na skali

- Za mali B, oscilacije su jako guste, u tom području eksperimentalno se vidi srednja vrijednost (envelope).

Važno: Prema teoremu Bohra i Van Leeuwena, niti jedno svojstvo elektronskog sustava u termalnoj ravnoteži ne može ovisiti o \vec{B} \Rightarrow ovdje je χ oscilatorna (na niskim T i visokim B) \Rightarrow ovo je potpuno kvantni efekt!

Dodatok: [Kittel] De Haas - Van Alphenov efekt 259 str.

U jakom magnetskom polju ($B \gg$) valne funkcije slobodnih elektrona u metalu nisu više ravni valovi i energija više nije

$$E_n = \frac{\hbar^2 k^2}{2m}$$

izvodom od prije smo dobili za energije:

$$E_{n0} = \hbar \omega_c \left(l + \frac{1}{2} \right) + \frac{\hbar^2 k^2}{2m} \rightarrow 2D: E = \hbar \omega_c \left(l + \frac{1}{2} \right) \quad (1)$$

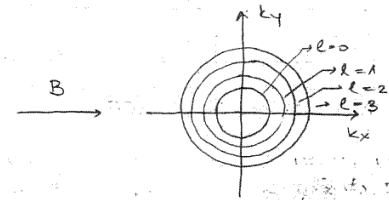
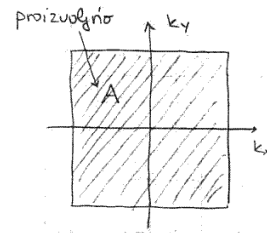
2D teorija: Već smo izveli:

$$\textcircled{2} \quad \omega_c = \frac{2\pi e B}{\hbar^2 c} \frac{\partial E}{\partial A} \Rightarrow dA = \frac{2\pi e B}{\hbar^2 c} dE \quad | \quad S$$

$$\Rightarrow A = \frac{2\pi e B}{\hbar^2 c} E$$

$$\textcircled{1} ; \textcircled{2} \Rightarrow \text{kvantizacija orbita: } A = \frac{2\pi e B}{\hbar^2 c} \left(l + \frac{1}{2} \right)$$

\Rightarrow u magnetskom polju se površina između orbita u k-prostoru kvantizira: $l = 0, 1, 2, \dots$

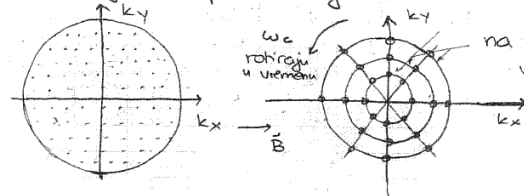


površina između kružnica je $\Delta A = \frac{2\pi e B}{\hbar^2 c}$

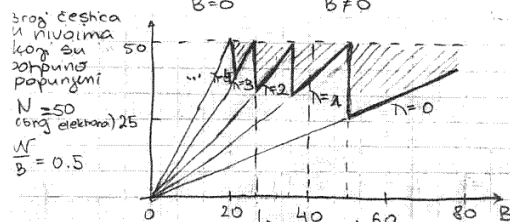
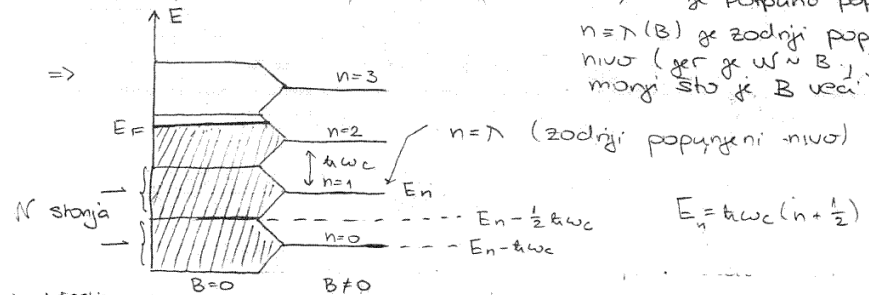
A što je sa stanjima u k-prostoru?

Za slobodni elektronski plin stanja (energije) opisana su kvantnim brojevima k_x i k_y tj. $E = \frac{\hbar^2}{2m} (k_x^2 + k_y^2)$

Kod uključimo polje B imamo: $E = \hbar \omega_c \left(l + \frac{1}{2} \right) \Rightarrow$ nema više ovisnosti o k_x i k_y već samo o kvantnom broju l (koji je kvantiziran)... Može se pokazati da $\forall l$ postoji u kristalu sa stanicama L_x, L_y $W = \frac{m \omega_c}{2\pi \hbar} L_x L_y$ različitih stanja \Rightarrow svaki nivo E_l je W -puta degeneriran.



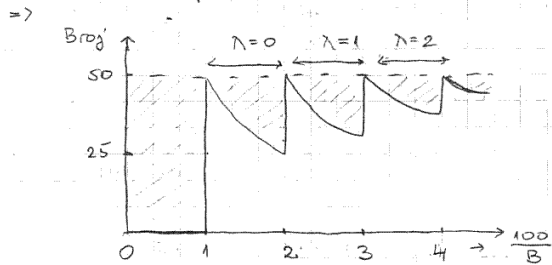
\Rightarrow tj. kvantni broj zodnjeg nivoa koji je potpuno popunjen $n = \tau(B)$ je zodnji popunjeni nivo (jer $W \sim B$, τ je mali što je B veći)



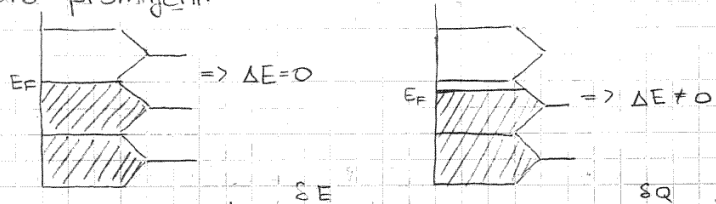
Osginjano područje daje broj čestica u nivoima koji su okupirani djelomično

Na $B=40$ imamo $N=1$, nivoi $n=0$; $n=1$ su potpuno popunjeni, a 10 čestica je na nivou $n=2$. U $B=50$ nivo $n=2$ je potpuno

Vidi se periodičnost na skali $\frac{1}{B}$



Energija sistema u magnetskom polju se promijeni! Ako su nam sve "plohe" nosile "dijeljenjem" zbog magnetskog polja popunjene do kraja energija se ne mijenja, ali ako nisu energija se godno promijeni.

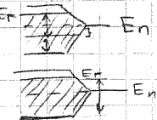


$$\Delta E = \left[E_n - \frac{1}{2} (E_f + (E_n - \frac{1}{2} \hbar \omega_c)) \right] n_f \left[E_f - (E_n - \frac{1}{2} \hbar \omega_c) \right]$$

$$= -\frac{n_f}{2} \left[(E_f - E_n) - \frac{1}{2} \hbar \omega_c \right] \left[(E_f - E_n) + \frac{1}{2} \hbar \omega_c \right]$$

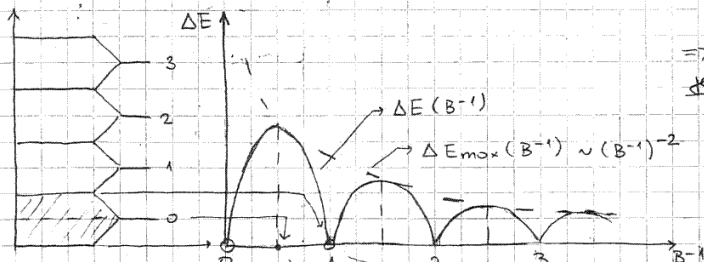
$$= -\frac{n_f}{2} \left[(E_f - E_n)^2 - \frac{\hbar^2 \omega_c^2}{4} \right] = -\frac{n_f}{2} \left[(E_f - \frac{\hbar e}{m c} (l + \frac{1}{2}) B)^2 - \frac{\hbar^2 e^2}{4 m^2 c^2} B^2 \right]$$

$\Sigma E \rightarrow$ srednja promjena energije 1 elektrona
 $\Sigma Q \rightarrow$ broj elektrona koji sjednu na niivo λ



\rightarrow vidi se da je max. doprinos ΔE ako je "ploha" polupopunjena ($E_f = E_n$)

$$\Delta E_{\text{max}} = \frac{m_f \hbar^2 e^2}{8 m^2 c^2} B^2 \sim (B^{-1})^{-2}$$



\rightarrow ovdje se vidi da je ΔE periodična po B^{-1}

\rightarrow tu se "pali" 0. ploha
 \rightarrow tu se "pali" 1. ploha
 \rightarrow tu je 0. ploha polupopunjena

Magnetizacija uzorka:

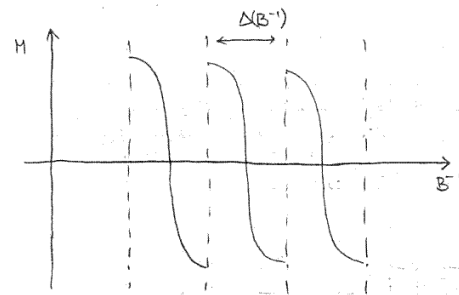
$$\vec{M} = -\frac{1}{V} \frac{\partial F}{\partial \vec{B}} = -\frac{1}{V} \frac{\partial E}{\partial \vec{B}}$$

\rightarrow jer je $F = E - TS = 0$

Susceptibilnost:

$$\chi = -\frac{1}{V} \frac{\partial^2 F}{\partial B^2} = -\frac{1}{V} \frac{\partial^2 E}{\partial B^2}$$

! Kao što je i ΔE tako su i M i χ periodične funkcije B^{-1} !



$\rightarrow M, \chi$ osciliraju s B^{-1} !

\rightarrow de Haas van Alphenov efekt!

Razmotrimo:

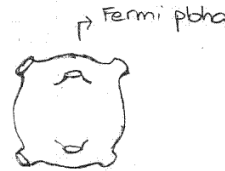
$$A = \frac{2\pi e B}{\hbar c} (l + \frac{1}{2}) \Rightarrow \frac{1}{B} = \frac{2\pi e}{\hbar c A} (l + \frac{1}{2})$$

$$\Rightarrow \Delta \left(\frac{1}{B} \right) = \frac{2\pi e}{\hbar c} \frac{1}{A_{\text{extrem}}}$$

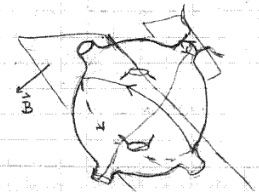
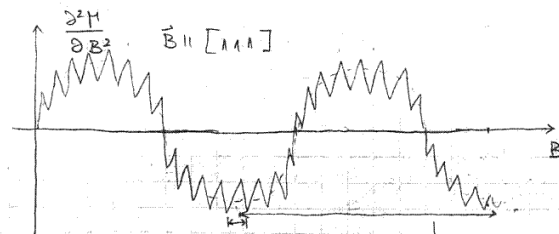
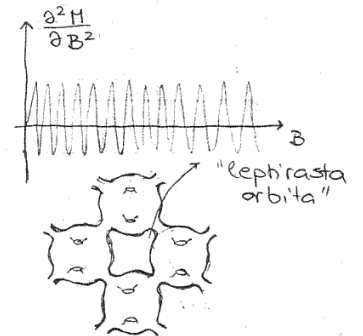
\rightarrow površina ekstremalne orbite

Mjerenjem perioda $\Delta(B^{-1})$ iz mjerenja magnetizacije možemo izračunati površinu ekstremalne orbite A_{extrem} . Vršenjem takvih mjerenja za više pravaca \vec{B} možemo rekonstruirati Fermijevu površinu. [To je metoda mjerenja F. plohe]

Npr. zlato



$\vec{B} \parallel [110]$

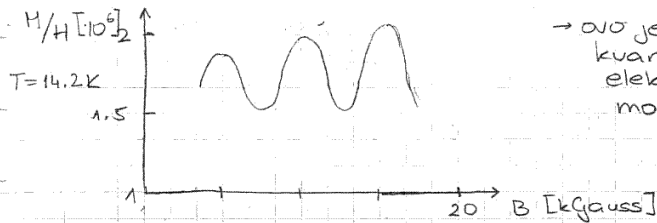


$$H(B) = -\frac{1}{V} \frac{\partial F(B)}{\partial B} \quad F - \text{slobodna energija}$$

$$\chi = \frac{\partial H}{\partial B} \quad \chi = -\frac{1}{V} \frac{\partial^2 F}{\partial B^2}$$

U linearnoj aproksimaciji: $\frac{H}{H} = \frac{\partial H}{\partial H}$. Ali ovdje su nelinearni efekti ključni pa mora $\chi = \frac{\partial H}{\partial B}$

Ovo su dobili Haas i van Alphen:



→ ovo je posljedica kvantizacije zauzimenih elektronskih orbita u magnetskom polju

Za mala polja, $B \ll$, su nam $\hbar \omega \ll$ pa se nivoi brzo pune $\Rightarrow \Delta E$ vrlo brzo oscilira.

Onsager: $\Delta \left(\frac{1}{B} \right) = \frac{2\pi e}{\hbar c} \frac{1}{A_{\text{extrem}}}$ parna ekstremalna orbita.
 \hookrightarrow promjena $1/B$ po jednom periodu.

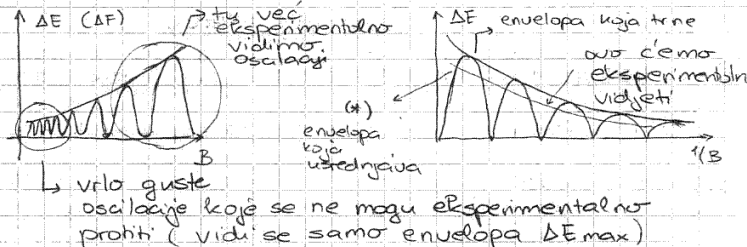
$$A_{\text{extrem}} = A(k_z) \rightarrow \frac{\partial A}{\partial k_z} = 0$$

$$B \rightarrow 0 \Rightarrow \left(\frac{1}{B} \right) = -\frac{1}{B^2} \Delta B \Rightarrow \Delta B \rightarrow 0$$

ekvidist.

Napomena: Znamo da je $\chi = -\frac{1}{V} \frac{\partial^2 F}{\partial B^2}$
 $F = E - \mu_B B$
 $\Rightarrow \chi = -\frac{1}{V} \frac{\partial^2 E}{\partial B^2}$

$$\Rightarrow \Delta F \rightarrow \Delta E$$



\hookrightarrow vrlo guste oscilacije koje se ne mogu eksperimentalno probiti (vidi se samo envelopa ΔE_{max})

Dobivanje Landau (tj. kvantne) susceptibilnosti [granica malih polja]

$$\Delta E_{\text{max}} = \frac{1}{8} n_F \hbar^2 \omega_c^2 \Rightarrow \Delta E_{\text{max}} \sim n_F \cdot (\hbar \omega_c)^2 \sim B^2 \quad (\text{jer } \omega_c = \frac{eB}{mc})$$

(promjena en. po jedinici volumena i po spinovima)

$\chi_L \sim \frac{\partial^2 \Delta E}{\partial B^2} \rightarrow$ oscilira ali za mala polja porađa se kao envelopa koja ide $\sim B^2$

$$\Rightarrow \chi_L \sim n_F \quad \text{tj.} \quad \left(\chi_L = -\frac{\partial^2}{\partial B^2} \left[\frac{n_F \hbar^2 \omega_c^2}{8} \right] = -\frac{\partial^2}{\partial B^2} \left[\frac{n_F \hbar^2}{8} \frac{e^2 B^2}{m^2 c^2} \right] = -\frac{\hbar^2 e^2}{4m^2 c^2} n_F \right)$$

\Rightarrow Landau susceptibilnost dobivamo direktno iz gustoće stanja

$$\chi_L \sim (-n_F) \quad (\text{za "envelopu" } \rightarrow \text{ vrijedi dobro za mala polja})$$

\hookrightarrow prosječna dijamagnetska susceptibilnost \sim gustoća stanja

$$\chi_L = -\frac{1}{2} n_F \mu_B^2$$

razlika u χ_L za 2D i 3D je samo u numeričkom faktoru

$B \ll$:
 \rightarrow odaberemo envelopu koja usrednjava $\langle \chi \rangle$
 2D slučaj: $\chi_L = -\frac{4}{3} \mu_B^2 n_F$

$$\mu_B = \frac{e\hbar}{2mc}$$

$$3D \text{ slučaj: } \chi_L = -\frac{2}{3} \mu_B^2 n_F$$

\rightarrow granica de Haas-van Alphenovog efekta za mala polja

\hookrightarrow uzimajući u obzir transkacije $\neq \frac{1}{T}$
 spektr mije potpuno diskretan \Rightarrow duž z osi k je kontinuiran (oscilacije su skrivene)

$\chi < 0$ jer $\chi \Delta E > 0 \Rightarrow$ ukupna energija je povećana (kvantno lantzov pravilo)

(napomena: izvod preko slob. en.: Supek 566-573)

Zaključak: Za sustav slobodnih elektrona pojavila se magnetizacija. To je rezultat KVANTIZACIJE ORBITA (u k-prostoru). Da toga nije bilo ne bi bilo miti efekta (Bohr-van Leeuwen teorem)

(Landauov dijamagnetizam u periodičkoj rešetki zahtjeva kompliciraniju analizu)

29.5.2002.

Paramagnetizam

③ **LANGEVINOV PARAMAGNETIZAM** (spinski paramagnetizam)

\hookrightarrow u kristalima, za vezane elektrone (d, f elektroni)

- pp. da imamo nesparene elektrone na čvorovima (spin $\frac{1}{2}$)
- spinovi međusobno ne interagiraju, interagiraju samo s magnetskim poljem.
- atomi s parcijalno popunjenom ljuskom \Rightarrow permanentni magnetski dipolni moment (doprinos L i S) (izobitni)
- nuklearne magnetske momente zanemarimo, imamo doprinose dubokoležećih elektrona

\rightarrow Maksimalna M je za $T=0$, za $T \neq 0$ neuredenost se odupire orijentaciji dipolnih momenata u smjeru polja.

$$E = -\vec{\mu} \cdot \vec{B}$$

svaki atom se ponaša kao magnet momenta $\vec{\mu}$

\rightarrow energija interakcije magnetskog dipolnog momenta $\vec{\mu}$ s poljem \vec{B}
 pp nema interakcije između atoma.

$$\vec{B} = B \hat{z}$$

$$\rightarrow E = -B_z \sum \mu_z$$



ako je u pitonju teoriji
prerakaje na osi z su diskretne
Atomi su lokalizirani
Pa zadovoljavaju Boltzmannovu statistiku.
na pojedinim čvornima.

$$H = - \sum \vec{\mu}_i \cdot \vec{B}$$

suma po svim čvornima
permanentni magnet koji se žele urediti prema B-u.
 $\mu_z \rightarrow B_z = \pm 1$



ali nisu uredeni



poje B ih uredjuje

Rješavali smo već taj problem kod feroelektrika (imali smo kvazispin 1/2).

Izvod Langevinove susceptibilnosti fizikalne pp.

1) Klasično Atomi u kristalu su odvojeni \Rightarrow automatski je zadovoljen Paulijev princip. Računamo M iz klasične MB raspodjele uzeti u obzir da su nivoi kvantizirani.

Curie-Weissov zakon

Pretpostavljamo da se svaki atom ponosi kao mali magnet momenta $\vec{\mu}$ (tokov $\vec{\mu}$ može nastoh iz nepopunjenih ljuski d- ili f-elektrona u ionima prelaznih metala ili njetkih zemalja) u magnetskom polju \vec{B} svaki mali magnet će imati energiju $-\vec{\mu} \cdot \vec{B}$. Pretpostavimo da je svaki atom neovisan o susjedima, zato što je lokaliziran zadovoljavajući Boltzmannovu statistiku. Dio (broj) atoma koji imaju magnetski moment $\vec{\mu}$ bit će proporcionalan sa:

$$n(\vec{\mu}) = e^{\vec{\mu} \cdot \vec{B} / k_B T}$$

Ako pretpostavimo da svaki magnet može slobodno rotirati (u klasičnoj fizici pretpostavljamo da se kot između dipola i \vec{B} mijenja kontinuirano) onda je srednji magnetski moment:

$$\langle \vec{\mu} \rangle = \frac{\int \vec{\mu} e^{\vec{\mu} \cdot \vec{B} / k_B T} d\Omega}{\int e^{\vec{\mu} \cdot \vec{B} / k_B T} d\Omega}$$

$$\int_0^{2\pi} \int_0^\pi e^{\beta \mu B \cos \theta} \sin \theta d\theta d\phi = 2\pi \int_{-1}^1 e^{\beta \mu B x} dx = \frac{2\pi}{\beta \mu B} [e^{\beta \mu B} - e^{-\beta \mu B}]$$

$\cos \theta = x$
 $-\sin \theta d\theta = dx$

$$\int \vec{\mu} e^{\vec{\mu} \cdot \vec{B} / k_B T} d\Omega = \hat{z} \int_0^{2\pi} \int_0^\pi \mu \sin^2 \theta e^{\beta \mu B \cos \theta} d\theta d\phi + \hat{y} \int_0^{2\pi} \int_0^\pi \mu \sin \theta \cos \theta e^{\beta \mu B \cos \theta} d\theta d\phi + \hat{x} \int_0^{2\pi} \int_0^\pi \mu \sin \theta \sin \theta e^{\beta \mu B \cos \theta} d\theta d\phi$$

uzimamo da je polje u smjeru osi z (odaber).
 $\vec{\mu} = \mu_x \hat{x} + \mu_y \hat{y} + \mu_z \hat{z} = \mu \sin \theta \cos \phi \hat{x} + \mu \sin \theta \sin \phi \hat{y} + \mu \cos \theta \hat{z}$
 $\vec{B} = B \hat{z}$
 $d\Omega = \sin \theta d\theta d\phi$

$$+ 2\pi \hat{z} \int_0^\pi \mu \cos \theta \sin \theta e^{\beta \mu B \cos \theta} d\theta = 2\pi \hat{z} \int_{-1}^1 x e^{\beta \mu B x} dx$$

$$= \left\{ \frac{x}{\beta \mu B} e^{\beta \mu B x} - \frac{1}{\beta \mu B} e^{\beta \mu B x} \right\}_{-1}^1 = \left\{ \frac{x}{\beta \mu B} e^{\beta \mu B x} - \frac{1}{\beta \mu B} e^{\beta \mu B x} \right\}_{-1}^1 \hat{z}$$

$$= \left\{ \frac{1}{\beta} [e^{\beta \mu B} + e^{-\beta \mu B}] - \frac{\mu}{\beta^2 \mu} [e^{\beta \mu B} - e^{-\beta \mu B}] \right\} \hat{z} = 2\pi$$

$$= 4\pi k_B T \left\{ \text{ch}(\beta \mu B) - \frac{k_B T}{\mu B} \text{sh}(\beta \mu B) \right\} \hat{z}$$

$\Rightarrow \langle \vec{\mu} \rangle = \hat{z} \langle \mu_z \rangle$ u smjeru polja

$$\Rightarrow \chi = N \frac{\partial \langle \mu_z \rangle}{\partial B} = \frac{N}{k_B T} \left[\langle \mu_z^2 \rangle - \langle \mu_z \rangle^2 \right]$$

$$= \frac{N}{k_B T} \left[\frac{1}{3} \langle \mu^2 \rangle - \langle \mu_z \rangle^2 \right]$$

$$\frac{\beta \mu B}{2\pi} \cdot \frac{4\pi}{\beta}$$

$$\langle \vec{\mu} \rangle = \hat{z} \cdot 2\mu B \left\{ \text{ch}(\beta \mu B) - \frac{1}{\beta \mu B} \text{sh}(\beta \mu B) \right\} \rightarrow \hat{z} \cdot 2\mu B \left\{ 1 + \dots - \frac{1}{\beta \mu B} (\beta \mu B) \right\}$$

$B \ll$
(razvoj ch i sh)

$\Rightarrow \langle \vec{\mu} \rangle \rightarrow 0$ za $B \ll$ kod je B jako malen.
 $\Rightarrow \chi \approx \frac{1}{3} \frac{N}{k_B T} \langle \mu^2 \rangle$ Curiev zakon za paramagnetsku susceptibilnost

• Nama je prirodnije povezati svaki magnet sa spinskim angularnim momentom \vec{S} koji je kvantiziran duž smjera magnetskog polja:

$$\vec{\mu} \cdot \vec{B} = g \mu_B B S_z$$

$$\mu_B = \frac{|e| \hbar}{2mc} = 9.27 \cdot 10^{-24} \text{ JT}$$

Bohrov magneton
g ≈ 2 za elektron
(S = 1/2)

gdje S_z ide od -S do S (u koracima po 1).

Dakle, sada uzimamo u obzir da su nivoi kvantizirani (E_i)

$$\Rightarrow \langle \mu_z \rangle = \frac{\sum \mu_i e^{-\beta E_i}}{\sum e^{-\beta E_i}}$$

\Rightarrow broj kvantnog stanja
 $E_i = -\vec{\mu}_i \cdot \vec{B}$
energija dipola u i-tom kvantnom stanju

↳ prosječna vrijednost magnetskog dip. momenta u term. mamičkoj ravnoteži na temperaturi T

Partijska funkcija jednog atoma: $Z = \sum_i e^{-\beta E_i} = \sum_i e^{\beta \vec{\mu}_i \cdot \vec{B}}$

Uočimo: $\sum_i \mu_i e^{\beta \vec{\mu}_i \cdot \vec{B}} = k_B T \left(\frac{\partial}{\partial B} \sum_i e^{\beta \vec{\mu}_i \cdot \vec{B}} \right)$

$\Rightarrow \langle \mu_z \rangle = k_B T \frac{\partial}{\partial B} \ln Z$

$\tilde{N} \rightarrow$ ukupan broj atoma
 $N = \frac{\tilde{N}}{V}$

$\bar{\mu} = k_B T \frac{\partial}{\partial B} \ln Z$

$H = N k_B T \frac{\partial}{\partial B} \ln Z$

$\frac{F}{V} = - N k_B T \ln Z$

$H = - \frac{1}{V} \left(\frac{\partial F}{\partial B} \right)_T$

Klasično:
 $Z = \sum_i e^{\beta \vec{\mu}_i \cdot \vec{B}} \rightarrow Z = C \int e^{\beta \mu_B x} dx$
 $= \frac{C}{\beta \mu_B} [e^{\beta \mu_B} - e^{-\beta \mu_B}]$
 $= \frac{C}{a} [e^a - e^{-a}]$
 $a = \frac{\mu_B B}{k_B T} \quad \frac{\partial}{\partial B} = \frac{\partial a}{\partial B} \frac{\partial}{\partial a}$
 $= \frac{\mu_B}{k_B T} \frac{\partial}{\partial a}$

kononska raspodjela
kontinuirana promjena kvantnog broja

$H = N \mu \frac{\partial}{\partial a} \ln \left[\frac{C}{a} [e^a - e^{-a}] \right]$
 $= N \mu \left[-\frac{1}{a} + \frac{e^a + e^{-a}}{e^a - e^{-a}} \right]$

Langevinova funkcija $L(a)$

$\Rightarrow H = N \mu L(a) \quad a = \frac{\mu_B B}{k_B T}$

$L(a) = -\frac{1}{a} + \frac{e^a + e^{-a}}{e^a - e^{-a}} = \text{cth} a - \frac{1}{a}$



Susceptibilnost:

za $a \ll 1, L(a) \approx \frac{a}{3}$

\hookrightarrow visoke T

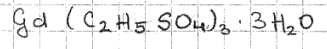
$\Rightarrow M = \frac{N \mu^2}{3 k_B T} B$

Za $e^- \quad \mu = 10^{-20} \text{ erg/Gauss}$
 $T = \text{sobna}$
 $B = 10^4 \text{ Gauss (1T)}$

$a = \frac{\mu B}{k_B T} \approx 2 \cdot 10^{-3}$ pa gornja aproksimacija vrijedi

$\chi = \frac{M}{B} = \frac{N \mu^2}{3 k_B T} \sim \frac{1}{T}$ Curiev zakon (za mala B) $\chi \sim \frac{1}{T}$ \hookrightarrow divergira za $T \rightarrow 0$

\hookrightarrow odlicno vrijedi za meke paramagnetske soli



2) Kvantni proračun

Kvantna fizika ne opravdava pretpostavku kontinuirane promjene orijentacije dipola. Broj mogućih orijentacija ovisi o ukupnom kvantnom broju momenta impulsa j .

Za određeni j projekcija dipola na magnetsko polje je: (iz 1. reda r.s.)

$(\vec{\mu} = g \mu_B \vec{j}) \Rightarrow \mu_i = g \mu_B m_i = (j, j-1, \dots, -j+1, -j)$
 $\mu_B = \frac{e \hbar}{2mc} = 9.27 \cdot 10^{-24} \text{ JT}$

totalni angularni moment $L = \hbar j$
atoma

$g \rightarrow$ Landéov faktor (faktor spektroskopskog razdužavanja) (spektroskopski)

Za slobodni atom: $g = 1 + \frac{j(j+1) + s(s+1) - l(l+1)}{2j(j+1)}$

Za spin elektrona $g = 2.0023 \rightarrow$ odnos broja μ_B i jedinica \hbar momenta impulsa

$g \mu_B = -\gamma \hbar$
 \hookrightarrow žiromagnetski odnos (omjer magnetskog momenta i momenta impulsa)

Uvodimo supstituciju: $x \equiv \frac{\mu_B g j B}{k_B T}$ i računamo

$Z = \sum_i e^{\beta \mu_B m_i B}$ *suma po svim projekcijama magnetskog dipola na smjer B*
 $Z = \sum_{i=-j}^j e^{x \frac{m_i}{j}} = e^x + e^{x \frac{j-1}{j}} + \dots + e^{-x \frac{j-1}{j}} + e^{-x}$
 $= e^x \frac{1 - e^{-\frac{x}{j}(2j+1)}}{1 - e^{-\frac{x}{j}}}$
 $= \frac{\text{sh} \left(x + \frac{x}{2j} \right)}{\text{sh} \frac{x}{2j}}$ *broj atoma po jedinici volumena*

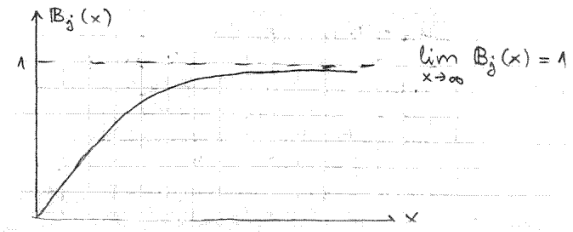
$H = - \frac{1}{V} \left(\frac{\partial F}{\partial B} \right)_T = N k_B T \left(\frac{\partial}{\partial B} \ln Z \right)_T = N g \mu_B j \frac{1}{2j} \left[(2j+1) \text{cth} \left(x + \frac{x}{2j} \right) - \text{cth} \frac{x}{2j} \right]$

$\langle \mu \rangle = g \mu_B j B_j(x)$

$M = N g \mu_B j B_j(x) \quad x = \frac{g \mu_B j B}{k_B T}$
 $B_j(x) \equiv \frac{2j+1}{2j} \text{cth} \left(\frac{2j+1}{2j} x \right) - \frac{1}{2j} \text{cth} \left(\frac{1}{2j} x \right)$

Brillouinova funkcija
analogon klasične Langevinove u QM

\rightarrow dobro sloganje kod nekih soli i prijelaznih metala 2)



Dva granična slučaja:

1) $E_{TEH} \ll E_{MAG} \rightarrow$ svi dipoli su u smjeru polja
 $g_j \mu_B B \gg k_B T \Rightarrow x \gg 1 \Rightarrow B_j(x) \rightarrow 1 \Rightarrow M = N g_j \mu_B$

2) $E_B \ll E_T$ ($k_B T \gg \mu_B g_j B \Rightarrow x \ll 1$)
 $B_j(x) \approx \frac{j+1}{3j} x, x \ll 1 \quad M = \frac{N (\mu_B g_j)^2 j(j+1)}{3 k_B T} B$

(razvoj: $\text{cth } x = \frac{1}{x} + \frac{x}{3} - \frac{x^3}{45} + \dots \Rightarrow$)

Što je u skladu s Curievim zakonom: $\chi = \frac{N \mu_B^2 p^2}{3 k_B T}$

$p = g \sqrt{j(j+1)}$ → efektivni broj magnetona (μ_B)

(Vrijedi za one čvrste tvari u kojima su mag. ioni ili atomi dovoljno udaljeni jedni od drugih tako da nema interakcije između njih)

(U vrlo jakim B , $k_B T \gg \mu_B g_j$ samo oko apsolutne nule (za polje 10T, T=10K))

Na sobnoj T: $N \approx 5 \cdot 10^{22} \text{ cm}^{-3}$
 $g=2, j=1/2 (l=0) \quad \chi = 10^{-4}$ 50 puta veći od $\chi_{dij.}$
 ↳ najjednostavnija situacija: čitav spektar ima 2 stanja

• Zašto nisu sve tvari paramagnetične?

U većini atoma i molekula elektroni se nalaze u parovima, a u svakom paru elektroni su prisiljeni imati suprotno usmjerene momente (j. spinove, smjer mag. mom. suprotan je smjeru impulsnog momenta elektrona). Stoga se magnetski momenti elektrona u svakom paru točno poništavaju. Sve što preostaje jest dijamagnetizam. Međutim, neke molekule sadrže neparan broj elektrona, pa u njima, čisto, nije moguće potpuno poništavanje u parovima. Npr. u dušičnom oksidu, NO, ima 15 e⁻, to je paramagnetičan plin. Atomi nekih grupa elemenata među kojima se ističu elementi koji se u periodnom sustavu elemenata nalaze oko godolinija i oko željeza sadrže neparane elektrone koji se u magnetskom polju mogu relativno lako usmjeriti. (Magnetski momenti takvih atoma često uključuju i doprinos orbitalnog gibanja) U metalnim vodičima su „slobodni“ elektroni koji lutaju kroz ionsku rešetku metala obično paramagnetični, sve su to kvantne pojave. I dijamagnetizam se temelji na kvantnoj mehanici. Razmotrimo dva elektrona koji u atomu kruže suprotnim smjerovima. Prema našem dječjem dijamagnetizmu on nastaje zbog toga što vanjsko polje B uzrokuje da se jedan elektron malo ubrza, a drugi malo uspori, zašto se stoga dva elektrona ne promijene tako da bi njihovi magnetski momenti bili usmjereni jednako u smjeru polja?

ZIG

Razlog je tome taj što najčešće dva elektrona zbog QM zakona moraju zadržati suprotan smjer gibanja u stazi, slično kao što se njihovi spinovi moraju spajivati sa suprotnim usmjerenjem

Nadalje, zbog toplinskog gibanja čestica u tvarima i preostali neparani magnetski momenti teže da se slučajno (nosumično) usmjere. Ako bi se mog. dipolni momenti svih elektrona u nekoj tvari mogli slobodno usmjeriti, tada bismo očekivali da će se u vanjskom polju B pretežno usmjeriti u smjer polja jer je to stanje njihove najnižeg energije u vanjskom polju. Međutim usmjerenje elektronskih magnetskih momenata daleko je od potpunog.

• Zašto se ne vidi dijamagnetizam?

Iz omjera $\frac{\chi_{par}}{|\chi_{dij.}|} = 50 \Rightarrow$ proizlazi da dijamagnetizam dolazi do izražaja samo ako su ljuske zadržane → nema permanentnog dipolnog momenta ($\chi_d \sim 10^{-5}$, $\chi_p \sim 10^{-3}$)

• Na koje elemente primijeniti gornje rezultate?

Na grupe atoma sa nezatučenom ljuskom: 3d, 4d, 4f, 5d, 5f. 1. i 3. grupa su dobro istražene. (2. grupa ne doprinosi jer je zadržana podljuska s)

① grupa željeza (ioni): 3d

$$p = g \sqrt{j(j+1)}$$

Dobro slaganje s eksperimentom $\Leftrightarrow j \rightarrow s$. Zamrzavanje orbitalnog momenta impulsa („Quenching of the orbital momentum“): elektroni u 3d ljusci osjećaju jako djelovanje tenzorskog potencijala \Rightarrow mijenja se energetska shema elektrona. U modelu potpuno zamrznutog impulsa \Rightarrow srednja vrijednost projekcije orbitalnog momenta impulsa na smjer polja = 0. Na energetskoj ljestvici nivo $l=0$ je duboko ispod ostalih orbitalnih stanja \Rightarrow energetski nivoi dipola određeni su spinom. Za neki s dobivamo a) gibanje nivoa u $2S+1$ nivoa.

$$g=2 \Rightarrow p = 2 \sqrt{s(s+1)}$$

„QUENCHING“: $\mu \sim (L+2S)$ Zašto nema L-a u priči?

Pretpostavili smo da \exists permanentni dipoli (u osnovnom stanju ima spina), što je s L-om u osnovnom stanju? \rightarrow iz eksperimenta: uvijek dva me doprinosi.

$$\langle G | L_z | G \rangle = \int g(\vec{r}) L_z g(\vec{r}) d\vec{r}$$

$L \in \mathbb{R}$ jer je

L_z hermitski operator a oni imaju realne svojstvene vrijednosti

Tvrđnja: ako je osnovno stanje nedegenerirano zbog efekta kristalnog polja onda je ovaj matični element jednak nuli.

$g(\vec{r}) \in \mathbb{R}$ jer je nedegenerirano (Ako je stanje nedegenerirano za njega uvijek možemo zaboriti fazu da je nula)

$$\Rightarrow \langle G | L_z | G \rangle = \int d^3r g(\vec{r}) \frac{\partial}{\partial \varphi} g(\vec{r}) = 0$$

$L_z \rightarrow \in \mathbb{C}$ b. da bi bilo $\in \mathbb{R}$ g(r) $\in \mathbb{R}$
 da bi bilo $\in \mathbb{R}$ g(r) $\in \mathbb{R}$

Za nedegenerirano osnovno stanje (kod J jaka kristalna polja koja razbijaju sfernu degeneraciju) imamo:

$$\langle G | L_z + 2S_z | G \rangle = \langle G | 2S_z | G \rangle \Rightarrow \text{doprinosi samo spin} \Rightarrow \text{PARAHAGNETIZAM}$$

Degeneracija osnovnog atomskog stanja potječe od rotacione simetrije. Budući da atom u kristalu ne živi u rot. simetriji \Rightarrow nema degeneracije.

npr. d-ljuska 5x degen. \rightarrow to vrijedi za sam atom, u kristalu se degeneracija lomi.

$$\Rightarrow M = Ng \mu_B S B_s \left(\frac{g \mu_B S B}{k_B T} \right)$$

Za $s = \frac{1}{2} \Rightarrow Z_N \left(e^{\frac{\mu_B B}{k_B T}} + e^{-\frac{\mu_B B}{k_B T}} \right)^N$ N br. atoma
 $g=2$ $N = N/V$

$$Z = e^{\frac{\mu_B B}{k_B T}} + e^{-\frac{\mu_B B}{k_B T}}$$

$$\langle \mu_z \rangle = \mu_B \left[\frac{e^{\beta \mu_B B} - e^{-\beta \mu_B B}}{e^{\beta \mu_B B} + e^{-\beta \mu_B B}} \right] = \mu_B \text{th} \left[\frac{\mu_B B}{k_B T} \right]$$

$$\Rightarrow \text{Magnetizacija: } M = N \mu_B \text{th} \left[\frac{\mu_B B}{k_B T} \right] \xrightarrow{B \ll k_B T} \frac{N \mu_B^2}{k_B T} B$$

$$\left(\text{th } x = (\text{th } x)|_{x=0} + \frac{1}{3!} x^3 + \dots = 0 + x + \dots \right) \quad (\text{mala polja})$$

$$\Rightarrow \chi = \frac{N \mu_B^2}{k_B T} \quad \text{za mala polja } B \quad \text{Curieva susceptibilnost, divergira za } T \rightarrow 0$$

Curieva χ je posljedica neinteragirajućih mag. momenata (pp smo da ne interagiraju). Bez obzira da li uzmemo s ili L, S uvijek imamo susceptibilnost $\sim \frac{1}{T}$ koja dolazi od neinteragirajućih momenata. Neinteragirajući momenti nužno vode na divergentnu χ za $T \rightarrow 0$.

Procjenje za $s > \frac{1}{2}$: $\mu \rightarrow g \mu_B$ $\langle \mu_z \rangle = S(S+1)(g \mu_B)^2$

$$M = N S g \mu_B B_s \left(\frac{g \mu_B S B}{k_B T} \right) \quad \text{gdje je } B_s(x) = \frac{2S+1}{2S} \text{th} \frac{2S+1}{2S} x - \frac{1}{2S} \text{th} \frac{x}{2S}$$

\rightarrow iz toga naravno slijedi Curiev zakon.

② Rijetke zemlje 4f

U njetkim zemljama dubokoležeći elektroni su toliko dubokoležeći da ne vide kristalno polje \rightarrow stanja ostaju degenerirana

Pojedino permanentnog dipolnog momenta: 4f ljuska. Utjecaj kristalnog polja na 4f zasjenjen s 5s i 5p pa se uloga kristalnog polja može zanemariti. (osnovno stanje je degenerirano $2J+1$ puta, a mag. polje skida degeneraciju)

p se računa iz Hundovih pravila: $(p = g \sqrt{j(j+1)})$

Hundova pravila:

(1.) S maksimalan (koliko dozvoli Pauli princip)

e^- iz iste ljuske: treba uzeti ukupni S maksimalan toliko da imamo osnovno stanje maksimalnog multiplikiteta dozvoljenog Paulijevim principom; jednok $2S+1 \Rightarrow$ (nogniža energija)

(2.) Uzeti L maksimalan (max L dozvoljen tim multiplikitetom; ali konzistentno sa S)

(3.) $J = |L-S|$ za $< \frac{1}{2}$ popunjena ljuska $n < (2l+1)$

$J = |L+S|$ za $> \frac{1}{2}$ popunjena ljuska $n > (2l+1)$
 \rightarrow suma s -ova svih e^- Ljuska je točno popunjena $\Rightarrow J=S$
 \rightarrow suma L -ova svih e^-

$$\vec{J} = \vec{L} + \vec{S}, \text{ degeneracija miče } \vec{L} - \vec{S} \text{ vezanje! } H = \dots + N \vec{L} \cdot \vec{S} + \dots$$

- ① $N > 0$ za ljuske popunjene $< \frac{1}{2}$
- ② $N < 0$ za ljuske popunjene $> \frac{1}{2}$

$$\langle J | \vec{L} + 2\vec{S} | J \rangle = \langle J | \vec{J} | J \rangle$$

Wigner-Eckartov m.

Slijedi da je $\mu = g \mu_B$ gdje je $g = 1 + \frac{J(J+1) + S(S+1) - L(L+1)}{2J(J+1)}$

(isti izraz kao prije samo $S \rightarrow j$; stavimo odgovarajući g)
 B_j
 - efektivni faktor proporcionalnosti
 - žiro magnetski faktor

Ako imamo u Hamiltonijanu $\vec{L} \cdot \vec{S}$ vezanje (nema permanentnog \vec{L} -a ali imamo $\vec{L} \cdot \vec{S}$ vezanje; H se veže na \vec{S} , a \vec{S} se veže na \vec{L} ; perturbativno...)

$$\mu \cdot \vec{H} \sim L + 2S \quad \frac{\langle 0 | \vec{L} | m \rangle \langle m | \vec{L} | 0 \rangle}{E_m - E_0} \quad \text{To funkcionira kad je } L \text{ nula}$$

$$\chi_{VV} = \sum_m \frac{\langle 0 | \vec{L} | m \rangle \langle m | \vec{L} | 0 \rangle}{E_m - E_0} \quad \text{E induciran, ovdje dugo, induciramo dipol vanjskim poljem.}$$

vanvlekov doprinos susceptibilnosti \rightarrow kasnije izvod

\vec{L} ne daje doprinos susceptibilnosti permanentnih dipola Sve to pod pp. da nema interakcije među magnetskim momentima

Prvo Hundovo pravilo vrijedi i za elektrone koji nisu na istom nivou.

$$n=4: \begin{matrix} s & p & d & f \\ l=0 & 1 & 2 & 3 \end{matrix}$$

Primjer za Hundova pravila:

- Ce^{3+} : 1 f elektron, $l=3$, $s=\frac{1}{2}$, popunjen $< \frac{1}{2}$
 $J = |L-S| = \frac{5}{2}$
 f ljuska je manje od pola puna (14 elektrona u f, maksimalno)
- Pr^{3+} : 2 f elektrona, $s=1$ (spinovi se zbroje \Rightarrow max S, ali tada m_l ne može biti isti za oba e⁻ \rightarrow Pauli princip)
 - dva elektrona ne mogu imati m_l=3 pa max. vrijednost L je $L=3+2=5$

$$|L_1 - L_2| \leq L_{ukupno} \leq |L_1 + L_2|$$

$$0 \leq L_{ukupno} \leq 6$$

$$J = |L-S| = 4 \Rightarrow p = g \sqrt{J(J+1)}$$

$$= g \sqrt{4(4+1)} = g \sqrt{20}$$

$$g = 1 + \frac{j(j+1) + s(s+1) - l(l+1)}{2j(j+1)} = 1 + \frac{4(4+1) + 1(1+1) - 5(5+1)}{2 \cdot 4(4+1)}$$

$$= 1 + \frac{20+2-30}{40} = 1 - \frac{1}{5} = \frac{4}{5} \Rightarrow p = \frac{4}{5} \sqrt{20} = \frac{8\sqrt{5}}{5} \approx 3.58$$

slob. atoma

Dakle, u slučaju rijetkih zemalja atomi imaju (2J+1) puta degeneriranu osnovno stanje. Multiplet stanja (set stanja različitih J) se cijepa spin-orbit interakcijom.

Prvo Hundovo pravilo proizlazi iz Paulijeovog principa i iz Coulombove repulzije. Paulijeov princip zabranjuje da dva elektrona budu na istom mjestu u isto vrijeme. Stoga se elektroni istog spina drže na bitno većim udaljenostima od elektrona suprotnog spina. Zbog Coulombove interakcije energija elektrona istog spina je niža - srednja potencijalna energija je manje pozitivna za paralelne nego za antiparalelne spinove. Npr. ion Mn^{2+} ima 5 e⁻ u 3d ljusci koja je stoga polupopunjena. Spinovi mogu biti paralelni ako svaki elektron ulazi u drugu orbitolu. Stoga je dostupno 5 orbitola ($m_l = 2, 1, 0, -1, -2$). Svaka orbitola bit će okupirana jednim elektronom (↑↑↑↑↑). Očekujemo dakle $S = \frac{5}{2}$, a budući je $\sum m_l = 0$ jedina moguća vrijednost L je 0 (kao što se i opaža).

Drugo Hundovo pravilo se najbolje vidi računima u modelu. Treće Hundovo pravilo je posljedica predznaka spin-orbit interakcije: za jedan elektron energija je najniža kod je njegov spin antiparalelan orbitalnom angularnom momentu. Međutim niskoenergijski parovi m_l, m_s se zbog Paulijeovog principa progresivno troše kako dodajemo elektrone u ljusku \Rightarrow po principu isključenja kod je ljuska više od pola puna stanje najniže energije nužno ima spin paralelan orbitalnom momentu.

[Kittel 424]

228

(Rijetke zemlje)

Ion (ccnj)	Konfiguracija	Bazični nivo	$p(calc.) = g [J(J+1)]^{1/2}$	$p(exp)$ aproksim.
Ce^{3+}	$4f^1 5s^2 6p^6$	$^2 F_{5/2}$	2.54	2.4
Pr^{3+}	$4f^2 5s^2 6p^6$	$^3 H_4$	3.58	3.5
Nd^{3+}	$4f^3 5s^2 6p^6$	$^4 I_{9/2}$	3.62	3.5
Pm^{3+}	$4f^4 5s^2 6p^6$	$^5 I_4$	2.68	-
Sm^{3+}	$4f^5 5s^2 6p^6$	$^6 H_{5/2}$	0.84	1.5
Eu^{3+}	$4f^6 5s^2 6p^6$	$^7 F_0$	0	3.4
Gd^{3+}	$4f^7 5s^2 6p^6$	$^8 S_{7/2}$	7.94	8.0
Tb^{3+}	$4f^8 5s^2 6p^6$	$^7 F_6$	9.72	9.5
Dy^{3+}	$4f^9 5s^2 6p^6$	$^6 H_{15/2}$	10.63	10.6
Ho^{3+}	$4f^{10} 5s^2 6p^6$	$^5 I_8$	10.60	10.4
Er^{3+}	$4f^{11} 5s^2 6p^6$	$^4 I_{15/2}$	9.59	9.5
Tm^{3+}	$4f^{12} 5s^2 6p^6$	$^3 H_6$	7.57	7.3
Yb^{3+}	$4f^{13} 5s^2 6p^6$	$^2 F_{7/2}$	4.54	4.5

\hookrightarrow bitno odstupanje za Eu^{3+} i Sm^{3+} ione \rightarrow tu je nužno uočavati i utjecaj viših stanja L-S multipleta jer interval između sukcesivnih stanja multipleta nije velik u usporedbi s kBT na sobnoj temperaturi (Mi smo uzimali da je utjecaj viših energijskih stanja sistema zanemari)

Efektivni brojevi magnetona za ione grupe željeza:

Ion	Konfiguracija	Bazični nivo	$p(calc.) = g [J(J+1)]^{1/2}$	$p(calc.) = 2[S(S+1)]^{1/2}$
Ti^{3+}, V^{4+}	$3d^1$	$^2 D_{3/2}$	1.55	1.73
V^{3+}	$3d^2$	$^3 F_2$	1.63	2.83
Cr^{3+}, V^{2+}	$3d^3$	$^4 F_{3/2}$	0.77	3.87
Mn^{3+}, Cr^{2+}	$3d^4$	$^5 D_0$	0	4.80
Fe^{3+}, Mn^{2+}	$3d^5$	$^6 S_{5/2}$	5.92	5.92
Fe^{2+}	$3d^6$	$^5 D_4$	6.70	4.90
Co^{2+}	$3d^7$	$^4 F_{3/2}$	6.63	3.87
Ni^{2+}	$3d^8$	$^3 F_4$	5.59	2.83
Cu^{2+}	$3d^9$	$^2 D_{5/2}$	3.55	1.73

$p(exp)^a$

- 1.8
- 2.8
- 3.8
- 4.9
- 5.9
- 5.4
- 4.8
- 3.2
- 1.9

a \rightarrow Reprezentativne vrijednosti

\rightarrow razlika između rijetkih zemalja i grupe željeza: 4 f ljuska odgovorna za paramagnetizam rijetkih zemalja leži duboko unutar iona, zasađena 5s i 5p ljuskama, dok je kod iona grupe željeza 3d ljuska odgovorna za paramagnetizam vanjska ljuska. 3d ljuska osiromažena intenzivno nehomogeno električno polje proizvedeno od strane susjednih iona. To nehomogeno električno polje se naziva kristalno polje

Interakcija paramagnetičnih iona sa kristalnim poljem ima dva važna efekta: vezanje L i S vektora je uvelike slomljeno tako da stanja više nisu specijalizirana s vrijednošću J; dakle 2L+1 subnivoa koji odgovaraju danom L i koji su u

slobodnom atomu degenerirani sada se mogu rascijepiti zbog kristalnog polja. Čije polje uzrokuje nestojanje doprinosa orbitalnog gibanja magnetskom momentu.

Do sada nismo uzimali u obzir interakciju između susjednih spinova, a ta interakcija u mnogim tvarima postoji. Ako to uzmemo u obzir, aproksimativno možemo uvesti Weissovo polje: $\vec{H}_I = \lambda N \langle \vec{\mu} \rangle$
 Pretpostavljamo se da na svaki spin djeluje srednja \vec{H} ostalih, a H_I je polje zbog srednje magnetizacije okoline u kojoj se svaki atom nalazi. Jakaost interakcije koja se mjeri parametrom λ ostavlja se proizvoljnom.
 Sada je ukupno polje koje djeluje na atom: $\vec{H} + \vec{H}_I = \vec{H}_{ukupno}$
 Imali smo prije:

$$\vec{H} = N \langle \vec{\mu} \rangle = \frac{1}{3} \frac{N \langle \mu^2 \rangle}{k_B T} \vec{H}_{uc.} \quad (\text{Curiev zakon})$$

$$\Rightarrow N \langle \vec{\mu} \rangle = \frac{1}{3} \frac{N \langle \mu^2 \rangle}{k_B T} (\vec{H} + \lambda N \langle \vec{\mu} \rangle)$$

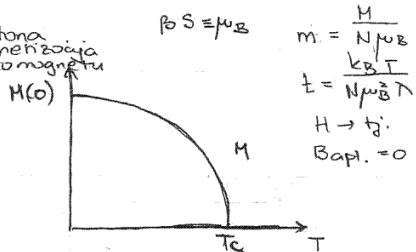
$$\chi \equiv N \left\langle \frac{\partial \vec{\mu}}{\partial \vec{H}} \right\rangle = \frac{N \langle \mu^2 \rangle}{3 k_B (T - \Theta)} \quad \text{gdje je } \Theta = \frac{\lambda N \langle \mu^2 \rangle}{3 k_B}$$

opisuje ponašanje susceptibilnosti ← Curie-Weissov zakon mnogih soli

Parametar Θ očito ima dimenziju temperature. Što se događa ako je $T < \Theta$. Čini se kao da susceptibilnost postaje ∞ , pa megotivna. \Rightarrow Koramo se urohit na jednod. Ebu: $N \langle \mu \rangle = N \beta s \tanh \left\{ \frac{N \beta s}{k_B T} (\lambda N \langle \mu \rangle + H) \right\}$ $\langle \mu \rangle = \dots$
 $\beta s = \mu_B$ $B = H$

Za $H=0$ uobičajeno rješenje je $\langle \mu \rangle = 0$. Međutim kod je $T < \Theta$ nalazimo da \exists drugi konjen sa $\langle \mu \rangle \neq 0$. Taj konjen se lako nalozi grafički; na $T=0$ očito teži u: $M(0) = N \beta s$

Spontana magnetizacija u feromagnetu

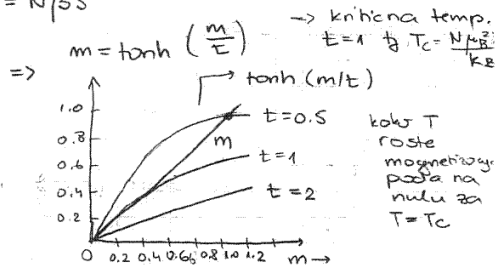


$\beta s \equiv \mu_B$

$$m = \frac{H}{N \mu_B}$$

$$t = \frac{k_B T}{N \mu_B^2 \lambda}$$

$H \rightarrow t$
 Bap. = 0



Sistem se ponaša kao da su se svi magnetski momenti usmjerili paralelno; kažemo da je supstanca feromagnet i opažamo da pokazuje veliku spontanu magnetizaciju čak i u odsutnosti magnetskog polja. Kako gignemo kristal spontana magnetizacija opada dok ne nestane na dobro definiranoj temperaturi (Curievoj temperaturi) $T_c = \Theta$.

Uz vanjsko polje

$$m = \tanh \left[\frac{m}{t} (1 + \beta) \right] \quad B = \lambda M \beta \Rightarrow \tilde{B} = \frac{B}{\lambda}$$

\Rightarrow opet tražimo nultotčke

Efekt izmjene u atomu (Exchange interactions)

Mjerenjem Curieove temperature vidimo da je Weissovo interno polje jako veliko - puno veće od uobičajenih internih dipolnih polja niza magneta. Koeficijent λ u mnogim feromagnetskim supstancama, nije $\frac{4\pi}{3}$, kao što je za Lorentzovo polje nego je reda 1000. Uobičajeno je to polje pripisati interakciji izmjene između spinova elektrona susjednih atoma. Za smiktno lokaliziran model Heisenberga i Diraca, gdje možemo pripisati operatru totalnog spina \vec{S}_i atomu na i -tom čvornu rešetke možemo pisati Hamiltonijan u obliku:

$$\mathcal{H} = - \sum_{\langle i, i' \rangle} J_{ee'} \vec{S}_i \cdot \vec{S}_{i'} - \beta \vec{H} \sum_i \vec{S}_i \quad (*)$$

Integral izmjene $J_{ee'}$ je funkcija relativnog položaja čvornata i, i' , ali je velik samo kad je $\vec{r}_i - \vec{r}_{i'}$ jednaka stopi ili drugoj stopi kristalne rešetke. Hamiltonijan možemo napisati u obliku:

$$\mathcal{H} = - \sum_i \left\{ \sum_{e, e'} J_{ee'} \vec{S}_i \cdot \vec{S}_{e'} + \beta \vec{H} \right\} \cdot \vec{S}_i \quad \sum_{e, e'} \rightarrow \frac{1}{2} \sum_{e, e'}$$

Na niskim temperaturama kod su svi spinovi usmjereni paralelno \vec{e}

$$\langle \beta \vec{S}_{e'} \rangle \approx \langle \vec{\mu} \rangle$$

\Rightarrow možemo identificirati član (*) kao interno polje:

$$\beta \vec{H}_I = \sum_{e'} J_{ee'} \vec{S}_{e'} = \frac{1}{\beta} \left(\sum_{e'} J_{ee'} \right) \langle \vec{\mu} \rangle$$

$$\Rightarrow \lambda = \frac{1}{N \beta^2} \left(\sum_{e'} J_{ee'} \right) \quad \vec{H}_I = \lambda N \langle \vec{\mu} \rangle$$

$$\lambda \downarrow \quad N \lambda = \frac{1}{\beta^2} \left(\sum_{e'} J_{ee'} \right)$$

U terminu Curieove temperature:

$$\Theta = \frac{\lambda N \langle \mu^2 \rangle}{3 k_B} \quad \langle \mu^2 \rangle = s(s+1) \mu_B^2 \quad \beta = g \mu_B$$

$$\left[k_B \Theta = \frac{1}{3} s(s+1) \sum_{e'} J_{ee'} \right]$$

\hookrightarrow to daje magnitudu interakcije izmjene u terminu temperature na kojoj se događa prijelaz u feromagnetsko stanje.

(*) spinski hamiltonijan \hookrightarrow postovja se pitonje da li je on opravdan kao bazicna pretpostavka?

Lako se može (na temelju par teoretskih argumenata) pokazati da je takov oblik interakcije (skalarni produkt dva spinska operatora) barem najjednostavniji mogući oblik, iako može biti i drugih, kompleksnijih članova kao npr. dipol-dipol interakcija

$$\mathcal{H}_{\text{dip-dip}} = \beta^2 \left\{ \frac{\vec{S}_i \cdot \vec{S}_{i'}}{R^3} - \frac{3(\vec{S}_i \cdot \vec{R})(\vec{S}_{i'} \cdot \vec{R})}{R^5} \right\}$$

za spinove na međusobnoj udaljenosti \vec{R} .

Također je poznato da se elektronski spinovi u istom atomu (\Rightarrow ① Hundovo pravilo) ili u uzastopnim atomima (\Rightarrow ② Heisenbergov feromagnetizam) mogu vezati efektom izmjene koji proizlazi iz Paulijevoog principa.

Npr, ako su ϕ_a i ϕ_b dvije valne funkcije u kojoj stoji samo dva elektrona, onda možemo konstruirati dva tipa stanja ovisno o tome da li dva elektrona imaju paralelne ili antiparalelne spinove. Ta stanja su simetrična i antisim. kombinacija:

$$\phi_S(\vec{r}_1, \vec{r}_2) = \frac{1}{\sqrt{2}} \{ \phi_a(\vec{r}_1) \phi_b(\vec{r}_2) + \phi_a(\vec{r}_2) \phi_b(\vec{r}_1) \}$$

$$\phi_A(\vec{r}_1, \vec{r}_2) = \frac{1}{\sqrt{2}} \{ \phi_a(\vec{r}_1) \phi_b(\vec{r}_2) - \phi_a(\vec{r}_2) \phi_b(\vec{r}_1) \}$$

ϕ_S se asocira s antiparalelnim spinovima (singleto stanje) a ϕ_A s paralelnim spinovima. Sada ako izračunamo srednje vrijednosti Coulombove energije $e^2/|\vec{r}_1 - \vec{r}_2|$ u ta dva stanja nalazimo da se one razlikuju za iznos:

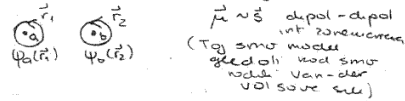
$$E_S - E_T = J = 2 \iint \phi_a^*(\vec{r}_1) \phi_b^*(\vec{r}_2) \frac{e^2}{|\vec{r}_1 - \vec{r}_2|} \phi_a(\vec{r}_2) \phi_b(\vec{r}_1) d\vec{r}_1 d\vec{r}_2$$

Što je integral izmjene. [Coulombaske pozicione energije se razlikuju za integral izmjene!]

$-2J\vec{S}_1 \cdot \vec{S}_2$ predstavlja razliku za \vec{S}_1, \vec{S}_2 paralelni i \vec{S}_1, \vec{S}_2 antiparalelni.

Predznak i iznos J ovisi o predznoku i iznosu integrala izmjene.

Dva su moguća slučaja:



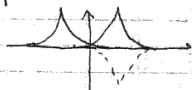
1) Elektroni su u istom atomu u nepopunjenoj ljusci \Rightarrow velik Coulombove interakcije i atomskih orbitala ϕ_a i ϕ_b je takov da je $J > 0 \Rightarrow$ spinovi se mižu paralelno

($\uparrow \uparrow \uparrow$) a ne ($\uparrow \downarrow \uparrow$) \Rightarrow totalni spin je maksimalan (energija je minimalna) i u skladu s brojem nepopunjenih stanja. To je Hundovo 1. pravilo!

Primjer: objašnjava zašto se elektroni u nepopunjenim d-orbitalama iona prijelaznih metala postavljuju $\uparrow \uparrow \uparrow$ i daju veliki permanentni dipolni moment atoma/ionu.

2) Interakcija između spinova elektrona različitih atoma (*iona*) \rightarrow kod računamo J gotovo uvijek ispodne negativan \Rightarrow favoriziraju se antiparalelni spinovi na susjednim atomima. Najjednostavniji primjer toga je Heitler-Londonov model molekule vodika, gdje vezano stanje ima sporene elektronske spinove (ajda stvar se odigrava u orbitalnom prostoru, a očituje se na spinovima) \rightarrow (zanemomi smo spin-spin int. tj. magnetsku dipolnu inter.)

Heitler-London:



④ HEISENBERGOV FEROMAGNETIZAM (za kristale)

Karakteriziran je postojanjem spontanog magnetskog momenta koji postoji i bez \vec{B} , a sugerira da su spinovi i magnetski moment elektrona raspoređeni na pravilan način.

Opis sustava:

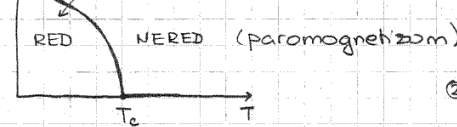
- paramagnetik; koncentracija iona sa spinom $S: N$. Ako \exists unutrašnja interakcija koja usmjerava magnetske momente \Rightarrow feromagnetska interakcija \Rightarrow polje interakcije, razmijene ili Weissovo polje. Na visim T dolazi do razaranja urednosti.

Trećimo Weissovo polje ekvivalentno nekom magnetskom polju B_E (do 10^7 Gaussa). Pretpostavimo: $B_E \propto M$ (magn. u termičkoj ravnoteži), dokle: $B_E = \chi M$

Weissovo polje uzrokovano je magnetizacijom na susjedni spin djeluje srednja ostojih spinova

Curieva $T \rightarrow T_c$ - temperatura iznad koje nestaje spontana magnetizacija

feromagnetizam



① $\chi M = B_E$ u ferom. fazi

② $\vec{M} = \chi(\vec{B} + \vec{B}_E) \Rightarrow$ u parom. fazi: (B_E postoji ali je nula čamo!)

$$M = \chi(B_E + B) = \chi(\chi M + B)$$

$$M(1 - \chi\chi) = \chi B \quad \& \quad \chi = \frac{C}{T}$$

$$M = \frac{C}{T(1 - \frac{C}{T})} B = \frac{C}{T - C} B$$

$$\Rightarrow \chi = \frac{C}{T - C} \Rightarrow \text{singularitet u } C = T$$

Vanjsko polje u parom. fazi:

\downarrow vrijedi Curiev zakon:

$$\textcircled{3} \chi = \frac{C}{T}$$

$T = C$ je upravo max. temperatura spontane magnetizacije \vec{M} jer za $\chi \rightarrow \infty$ možemo imati konačan \vec{M} za $\vec{B} = 0$

To je tzv. Curie-Weissov zakon: $\chi = \frac{C}{T - T_0}$ $T_0 = TC = \frac{N\mu_B^2}{k_B}$

Kvantnomehanička interakcija (opisuje Weissovo polje)

INTERAKCIJA IZMJENE: 2 atoma sa spinovima \vec{S}_1 i \vec{S}_2 : $U = -J \vec{S}_1 \cdot \vec{S}_2$ $\leftarrow J = (E_S - E_T)$ \leftarrow energija interakcije

Konstrukcija spinskog Hamiltonijana za dvo-elektronski sistem:

$$\vec{S}_1^2 = \frac{1}{2}(\frac{1}{2} + 1) = \frac{3}{4} \Rightarrow \text{totalni spin zadovoljava}$$

$$\vec{S}^2 = (\vec{S}_1 + \vec{S}_2)^2 = \frac{3}{2} + 2\vec{S}_1 \cdot \vec{S}_2 \quad \vec{S}^2 = S(S+1) \quad \begin{matrix} S=0 \text{ (singlet)} \\ S=1 \text{ (triplet)} \end{matrix}$$

$\Rightarrow \vec{S}_1, \vec{S}_2$ ima sv. vrijednost $-\frac{3}{4}$ za singlet i $+\frac{1}{4}$ za triplet

$$\Rightarrow \mu^{\text{spin}} = \frac{1}{4}(E_S + 3E_T) - (E_S - E_T)\vec{S}_1 \cdot \vec{S}_2$$

\Rightarrow riješimo se konstantom čara (χ) \rightarrow renormalizacija energ.

Heisenbergov hamiltonijan:

duo en. ovison
interakcija
spina
(preko
Pauli
prinacpa
nema uca
s dipolm
momentom)

$$H = -\frac{1}{2} \sum_{i \neq j} J_{ij} \vec{S}_i \cdot \vec{S}_j$$

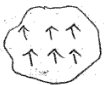
reda por ev za 1. susjede,
brzo trne

J-integral izmjene \rightarrow razlika energija C. interakcije za $\uparrow\uparrow$ i $\downarrow\downarrow$

1.) $J > 0 \Rightarrow$ feromagnetizam $\uparrow\uparrow$: $(\vec{S}_i \cdot \vec{S}_j > 0 \rightarrow$ ukupno spušta E)

2.) $J < 0 \Rightarrow$ antiferomagnetizam $\uparrow\downarrow$ (krom npr.) $(\text{MnO}, \text{FeO}, \text{CoO})$

Heisenbergov feromagnetizam odgovara osnovnom stanju H za lokalizirana stanja



Fe_3O_4 (magnetit), CoFe_2O_4 ferimagne momenti se ne pokrote i ostave neto moment substanci kao celini

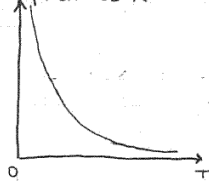
Antiferomagnetnska uređenje

- u osnovnom stanju susjedni dipoli usmjereni su u suprotnim pravcima $\Rightarrow M = 0$ ispod $T = T_{\text{Neel}}$
- s porastom T, M raste

$$\chi_{\text{antif.}} = \frac{2C}{T + T_{\text{Neel}}}$$

(eksperimentalno: $\frac{2C}{T + \Theta}$)

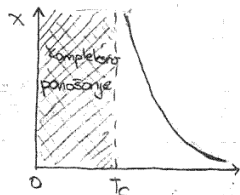
Paramagnetizam
susceptibilnost χ



$$\chi = \frac{C}{T}$$

Curiev zakon

Feromagnetizam

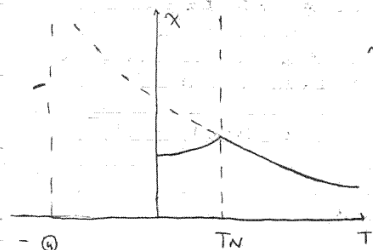


$$\chi = \frac{C}{T - T_c}$$

Curie-Weissov zakon
($T > T_c$)

\rightarrow prelazi iz jedne faze u drugu se vide kao pikavi u toplinskom kapacitetu i koeficijentu termalne ekspanzije

Antiferomagnetizam



$$\chi = \frac{C}{T + T_N}$$

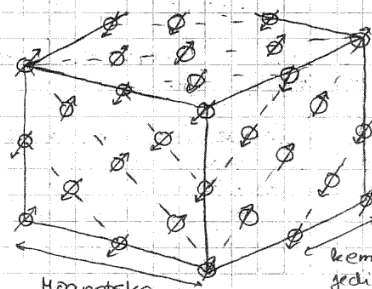
($T > T_N$)

Ispod Neelove temperature antiferomagnetnski spinovi imaju antiparalelne spinove, susceptibilnost ima svoju max. vrijednost na $T = T_{\text{Neel}}$.

\rightarrow kritična temperatura: Neelova T: za $T > T_{\text{Neel}}$ gubi se antiferomagn. svojstvo

Najjednostavniji model: dvije podrešetke koje ulaze jedna u drugu, magnetski dipoli podrešetaka su po iznosu jednaki ali suprotni po smjeru.

Usmjerenje spinova Mn^{2+} iona u mangan-oxidu MnO (loni O^{2-} nisu prikazani)



Spinovi u jednoj [111] ravnini su paralelni ali u uzostopnim [111] ravninama antiparalelni $\Rightarrow \text{MnO}$ je antiferomagnet

Feromagnetizam:

$$\vec{B}_A = \lambda \vec{H}_A - \mu \vec{H}_B \quad \vec{B}_B = \nu \vec{H}_B - \mu \vec{H}_A$$

$\lambda, \mu, \nu > 0 \rightarrow$ konstante srednjeg polja

Gustoca energije interakcije:

$$U = -\frac{1}{2} (\vec{B}_A \vec{H}_A + \vec{B}_B \vec{H}_B) = -\frac{1}{2} \lambda \vec{H}_A^2 - \frac{1}{2} \nu \vec{H}_B^2 + \mu \vec{H}_A \vec{H}_B$$

niza kod je \vec{H}_A antiparalelan \vec{H}_B

Definiramo Curieve konstante C_A i C_B za ione A i B. Rodi jednostavnosti uzimamo da su sve interakcije nula osim za antiparalelne interakcije između A i B.

$$\vec{B}_A = -\mu \vec{H}_B \quad \vec{B}_B = -\mu \vec{H}_A \quad \mu > 0$$

Aproks. srednjeg polja: \leftarrow same

$$H_A = \frac{C_A}{T} (B_A - \mu H_B) \quad H_B = \frac{C_B}{T} (B_B - \mu H_A)$$

\rightarrow primjenjeno polje (vanjsko)

\rightarrow Te jednadžbe imaju netrivialno rješenje za $B_A = 0$ oko unjedi:

$$\begin{vmatrix} T & \mu C_A \\ \mu C_B & T \end{vmatrix} = 0 \Rightarrow \text{Ferimagnetska Curieva temperatura jest:}$$

$$T_c = \mu (C_A C_B)^{1/2}$$

\rightarrow Susceptibilnost za $T > T_c$:

$$\chi = \frac{H_A + H_B}{B_A} = \frac{(C_A + C_B)T - 2\mu C_A C_B}{T^2 - T_c^2}$$

Za antiferomagnet: $C_A = C_B \Rightarrow T_N = \mu C$ (Neelova temp.)

\Rightarrow Susceptibilnost u paramagnetskom području $T > T_N$

$$\chi = \frac{2CT - 2\mu C^2}{T^2 - (\mu C)^2} = \frac{2C}{T + T_N}$$

Ekspenmentalni rezultat za $T > T_N$ je oblika:

$$\chi = \frac{2C}{T + \Theta}$$

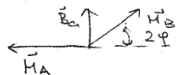
(Ako se uvede konstanta srednjeg polja $-E$ koja opisuje interakcije unutar subrešetke $\rightarrow \Theta/T_N = (\mu + E)/(\mu - E)$.)

Susceptibilnost ispod Neelove temp. \rightarrow druge situacije: primijenjena magnetsko polje je okomito na osi spinova ili paralelno osima spinova. U iznad T_N susceptibilnost je gotovo nezavisna o smjeru polja relativno na spinske osi.

$\vec{B}_a \perp$ ili \parallel na magnetizaciju subrešetke

$$\vec{B}_a \perp \Rightarrow U = \mu \vec{M}_A \cdot \vec{H}_B - \vec{B}_a (\vec{H}_A + \vec{H}_B) \approx -\mu H^2 [1 - \frac{1}{2}(2\varphi)^2] - 2B_a \mu \varphi$$

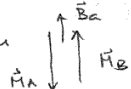
2φ kut koji spinovi čine jedan s drugim



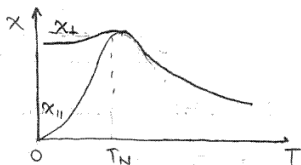
Minimalna energija:

$$\frac{dU}{d\varphi} = 0 = 4\mu H^2 \varphi - 2B_a \mu \Rightarrow \varphi = \frac{B_a}{2\mu H} \Rightarrow \chi = \frac{2\mu\varphi}{B_a} = \frac{1}{\mu}$$

Za paralelnu orijentaciju $\vec{B}_a \parallel$ $\Rightarrow \chi_{\parallel}(0) = 0$



χ_{\parallel} glatko raste od 0 do T_N .



(feromagn. bromki izolatori \rightarrow oscilacije su oba spinski valovi, njihova eksitacija ne košta puno energije)

Spinski valovi - MAGNONI

Magnon je kvantizirani spinski val. U osnovnom stanju jednodobnog magneta (na $T=0$) jednodobni feromagnet ima sve spinove paralelne. Razmotrimo N spinova

magnitude S :
 najbliži susjedi vezani Heisenbergovim Hamiltonijanom.
 $\Rightarrow U = -J \sum_{p=1}^N \vec{S}_p \cdot \vec{S}_{p+1} \quad J = 2 \cdot (\text{Integral izmjene})$

Osnovno stanje: $\vec{S}_p \cdot \vec{S}_{p+1} = S^2$ (paralelni) $\Rightarrow U_0 = -NJS^2$

Kdika je energija 1. pobudjenog stanja? Razmotrimo pobudeno stanje sa jednim okrenutim spinom:



(a) klasična slika osnovnog stanja u jednodobnom feromagnetu (svi spinovi paralelni)

(b) moguća pobuda \rightarrow jedan spin okrenut

(c) Niskodežuća elementarna pobudjenja su spinski valovi

$$U_1 = U_0 + 4JS^2 = -JS^2(N-2) + 2S^2 = -JS^2N + 4JS^2$$

(povlači energiju) U_0 232

Možemo formirati pobudjenja puno niže energije \rightarrow elementarna pobudjenja spinskih valova imaju valni oblik i nazivaju se magnoni. (oni su analogni titranjima rešetke - fononima) Spinski valovi su oscilacije u relativnom orijentacijama spinova u rešetki; titnaji rešetke su oscilacije su oscilacije u relativnom položaju atoma rešetke.

Klasični izvod magnonske disperzijske relacije (ω u ovisnosti o $k \Rightarrow$ kvantiziramo magnonsku energiju i interpretiramo kvantizaciju u terminima okretanja spina)

$$-J \vec{S}_p \cdot (\vec{S}_{p-1} + \vec{S}_{p+1}) \quad \vec{\mu}_p = -g \mu_B \vec{S}_p$$

\rightarrow magnetski moment

$$\Rightarrow -\vec{\mu}_p \cdot \left[-\left(\frac{J}{g\mu_B}\right) (\vec{S}_{p-1} + \vec{S}_{p+1}) \right] \rightarrow \text{oblika } -\vec{\mu}_p \cdot \vec{B}_p$$

\Rightarrow efektivno magnetsko polje ili polje izmjene:

$$\vec{B}_p = \left(-\frac{J}{g\mu_B}\right) (\vec{S}_{p-1} + \vec{S}_{p+1})$$

Iz klasične mehanike: promjena angularnog momenta \vec{L} jednaka je momentu sile $\vec{\mu}_p \times \vec{B}_p$ koji djeluje na spin:

$$\hbar \frac{d\vec{S}_p}{dt} = \vec{\mu}_p \times \vec{B}_p \quad \text{ili}$$

$$\frac{d\vec{S}_p}{dt} = \left(-\frac{g\mu_B}{\hbar}\right) \vec{S}_p \times \vec{B}_p = \frac{J}{\hbar} (\vec{S}_p \times \vec{S}_{p-1} + \vec{S}_p \times \vec{S}_{p+1})$$

U kartezijevim komponentama:

$$\frac{dS_p^x}{dt} = \frac{J}{\hbar} [S_p^y (S_{p-1}^z + S_{p+1}^z) - S_p^z (S_{p-1}^y + S_{p+1}^y)]$$

i slično za $\frac{dS_p^y}{dt}$ i $\frac{dS_p^z}{dt}$.

Ako je amplituda eksitacije mala ($S_p^x, S_p^y \ll S$) \Rightarrow dobivamo aproksimativni set linearnih jednadžbi uzimajući $S_p^z = S$

$$\Rightarrow \left. \begin{aligned} \frac{dS_p^x}{dt} &= \frac{JS}{\hbar} (2S_p^y - S_{p-1}^y - S_{p+1}^y) \\ \frac{dS_p^y}{dt} &= -\frac{JS}{\hbar} (2S_p^x - S_{p-1}^x - S_{p+1}^x) \\ \frac{dS_p^z}{dt} &= 0 \end{aligned} \right\} (**)$$

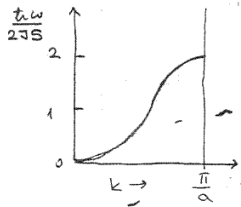
Rješenje u obliku propagirajućeg vala tražimo u obliku:

$$(**) \quad \begin{aligned} S_p^x &= u \exp [i(pka - \omega t)] \\ S_p^y &= v \exp [i(pka - \omega t)] \end{aligned} \quad \begin{aligned} p &\text{ integer} \\ a &\text{ konstanta rešetke} \end{aligned}$$

Supstitucijom u jednadžbe (*) i postavljanjem uvjeta da determinanta sustava iščezava dobivamo:

$$\hbar \omega = 2JS(1 - \cos ka)$$

isto se dobije iz QM
raspršenja



Disperzijska relacija za magnone u feromagnetu u 1D u aproksimaciji najbližih susjeda.

Uzimamo Re od (**) i stavljamo $v = -iu$
 $\Rightarrow S_p^x = u \cos(pk_a - \omega t)$
 $S_p^y = u \sin(pk_a - \omega t)$



jedna valna dužina

← gledano odozgo (val se črta kroz kruzice spinskog vektora)

Dugovalna granica: $ka \ll 1$

$$\Rightarrow \hbar \omega \approx (JSa^2) k^2 \sim k^2$$

(kao i za fonone u toj granici)

Kvantizacija spinskih valova: energija moda frekvencije ω_k sa n_k magnona dana je sa:

$$E_k = (n_k + \frac{1}{2}) \hbar \omega_k$$

Eksitacija magnona odgovara okretanju jednog spina $\frac{1}{2}$.

• Termalna eksitacija magnona

U termalnoj ravnoteži: prosječna vrijednost broja magnona pobuđenih u mod k dana je Planckovom raspodjelom:

$$\langle n_k \rangle = \frac{1}{\exp(\hbar \omega_k / k_B T) - 1}$$

• Ukupni broj magnona pobuđenih na temperaturi T jest:

$$\sum_k n_k = \int d\omega D(\omega) \langle n(\omega) \rangle$$

$D(\omega)$ gustoća stanja
broj magnonskih modova u intervalu frekvencija $[\omega, \omega + d\omega]$

Za $ka \ll 1$: $\hbar \omega = (JSa^2) k^2 \Rightarrow \frac{d\omega}{dk} = \frac{2JSa^2}{\hbar} k = 2 \left(\frac{JSa^2}{\hbar} \right)^{1/2} \omega^{1/2}$

$$\Rightarrow D(\omega) \sim \omega^{1/2} \Rightarrow \sum_k n_k \sim \int_0^\infty dx \frac{x^{1/2}}{e^x - 1}$$

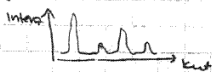
$N \rightarrow$ broj atoma po jedinici volumena

$$\frac{\sum_k n_k}{NS} = \frac{\Delta M}{M(0)} \sim T^{3/2}$$

Blochov $T^{3/2}$ zakon koji je potvrđen eksperimentalno

U eksperimentima raspršenja neutrona također se opažaju spinski valovi (do čunjeve temperature a , porise nje pikavi u intenzitetu pri danim kutovima).

↳ magnetski moment neutrona interagira s magnetskim momentima elektrona.



U antiferomagnetima disperzijska relacija za magnone se prilično razlikuje od one u feromagnetima.

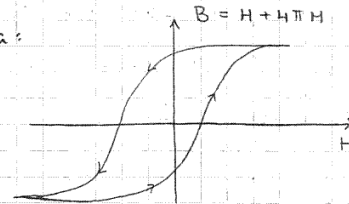
$$\omega_{ex} = 2|J|S/\hbar \quad J < 0$$

$$\Rightarrow \omega^2 = \omega_{ex}^2 (1 - \cos^2 ka) \Rightarrow \omega = \omega_{ex} |\sin ka|$$

$$ka \ll 1 \Rightarrow \omega \approx \omega_{ex} |ka|$$

Feromagnetske domene \rightarrow stvarni uzorci sastoje se od malih područja koja nazivamo domene. Smjer magnetizacije različitih domena ne mora biti isti.

\rightarrow Histereza:



Sugestija na $T=0$: proračun osnovnih stanja za

- ① Feromagnete A-M str. 701
 - ② Antiferomagneti A-M 704
 - ③ Spinski valovi 704 (magnoni)
- antiferomagnetska mrežica u trokutastoj rešetci \triangle

Napomene:

• Ako je $J_{AB} = 0 \Rightarrow$ Longevinov paramagnetizam \Rightarrow slobodni spinovi se nezavisno uređuju

• Ako postoji quenching \vec{e} ne znači da ovaj mišta ne doprinosi magnetizaciji:

(\Rightarrow analogno sa električnom susceptibilnošću:

$$D(\omega) \sim \sum \frac{|G(x|P)|^2}{\omega_{op} - \omega} \rightarrow$$

to vrijedi ovdje u višem redu uz $x \rightarrow Lz$
 \hookrightarrow električna polarizabilnost

$B_z L_z \Rightarrow$ polarizacija sustava; amplituda je mala i proporcionalna polju).

• ①, ②, ③

$$\mathcal{H} = -\frac{1}{2} \sum_{\vec{R}, \vec{R}'} \hat{S}(\vec{R}) \cdot \hat{S}(\vec{R}') J(\vec{R} - \vec{R}') - g \mu_B H \sum_{\vec{R}} \hat{S}_z(\vec{R})$$

! Spinski operatori predstavljaju ukupni angularni moment (\hat{J}) koji generalno ima i spinski i orbitalni dio (iako se mogući spinski operatori)

5. VAN VLECKOV PARAMAGNETIZAM
 - izolatori s polupopunjenim nivoima
 - raspodjela el. dolazka s drugim, prema smjeru polja B
 Ako ljuska ima $J=0$ ($\vec{J}_{ljuske}=0$) (kao u slučaju ljuski kojima fali jedan elektron da budu polupopunjene)
 \Rightarrow osnovno stanje je nedegenerirano (kao u slučaju popunjenih ljuski) \Rightarrow nema linearnog člana u energijskom pomaku (tj. člana $\propto \vec{B}$)
 (to sljedeći iz simetrije stanja s $\vec{J}=0$)

... i suceptibilnostima kompleksnije strukture nego su oni koji mi ovde pomažu (molekuli u kristalima)

Proračun energijskog pomaka u 2. redu računa smetnje (iona)

Hamiltonijan atoma u magnetskom polju:

$$E_{kin} = \frac{1}{2m} \sum_i \left[\vec{p}_i + \frac{e\hbar}{c} \vec{A}(\vec{r}_i) \right]^2 = \frac{1}{2m} \sum_i \left[\vec{p}_i - \frac{e\hbar}{2c} \vec{r}_i \times \vec{B} \right]^2$$

\hookrightarrow totalna kinetička energija elektrona

$$E_{kin} = E_{kin0} + \mu_B \vec{L} \cdot \vec{B} + \frac{e^2}{8mc^2} B^2 \sum_i (x_i^2 + y_i^2)$$

$q = -1e \Rightarrow \vec{p}_i \mapsto \vec{p}_i + \frac{e\hbar}{c} \vec{A}(\vec{r}_i)$

$$\vec{A} = -\frac{1}{2} \vec{r} \times \vec{B} \quad \vec{L} = \sum_i \vec{r}_i \times \vec{p}_i$$

$$\vec{B} = \nabla \times \vec{A}$$

$\Rightarrow E_{kin} = E_{kin0} + \mu_B \vec{L} \cdot \vec{B} + \frac{e^2}{8mc^2} B^2 \sum_i (x_i^2 + y_i^2)$

Dodajmo u hamiltonijan i interakciju svakog elektronskog spina sa poljem:

$$g \mu_B B S_z \quad \vec{S}_z = \sum_i \vec{S}_z^i \quad \vec{S}_i = \frac{1}{2} \vec{\sigma}_i$$

$g = 2$

$$\Delta \mathcal{H} = \mu_B (\vec{L} + g \vec{S}) \cdot \vec{B} + \frac{e^2}{8mc^2} B^2 \sum_i (x_i^2 + y_i^2)$$

dis Hamiltonijana ovisan o polju

Pomoću su moli \Rightarrow račun smetnje. Za proračun χ je potreban drugi red računa smetnje (članovi $\propto B^2$ jer $\chi \propto \frac{\partial^2 E_0}{\partial B^2}$)

$$E_n \mapsto E_n + \Delta E_n \quad \Delta E_n = \langle n | \Delta \mathcal{H} | n \rangle + \sum_{n' \neq n} \frac{|\langle n | \Delta \mathcal{H} | n' \rangle|^2}{E_n - E_{n'}}$$

$$\Delta E_n = \mu_B \vec{B} \cdot \langle n | \vec{L} + g \vec{S} | n \rangle + \sum_{n' \neq n} \frac{|\langle n | \mu_B \vec{B} \cdot (\vec{L} + g \vec{S}) | n' \rangle|^2}{E_n - E_{n'}} + \frac{e^2}{8mc^2} B^2 \langle n | \sum_i (x_i^2 + y_i^2) | n \rangle$$

\rightarrow tu smo zadržali članove do $\propto B^2$

Procjene članova:

ako ne iščezavaju najveći su članovi $\propto B$ (i za velika polja)

$\langle n | L_z + g S_z | n \rangle$ je reda 1 $\Rightarrow \mu_B B \langle \rangle = f(\mu_B B) \sim \hbar \omega_c \quad (\sim 10^{-4} \text{ eV})$

$\langle n | x_i^2 + y_i^2 | n \rangle$ je reda (tipične atomske duljine)² \Rightarrow

$$\frac{e^2}{8mc^2} B^2 \langle \rangle = f \left(\left(\frac{e^2}{mc} \right)^2, m a_0^2 \right) \sim \hbar \omega_c \frac{e^2 a_0}{10^{-5}}$$

2. član $\sim \hbar \omega_c \frac{\hbar \omega_c}{\min |E_n - E_{n'}|} \rightarrow$ mala: ...
 velik (tipična ot. eg)

van Vleckov paramagnetizam

$$\Delta E_0 = \frac{e^2}{8mc^2} B^2 \langle 0 | \sum_i (x_i^2 + y_i^2) | 0 \rangle - \sum_n \frac{|\langle 0 | \mu_B \vec{B} \cdot (\vec{L} + g \vec{S}) | n \rangle|^2}{E_n - E_0}$$

(Langevinova susc.)
 (izolatori s punim ljuskama \rightarrow Larmorov dijamagnetizam $\rightarrow L|0\rangle=0, S|0\rangle=0, J|0\rangle=0$, pa i član (*) iščezava)

(Napomena: u punoj ljusci linearni član iščezava jer su stanja nedegenerirana)

Ako je koncentracija iona u kristalu $c = \frac{N}{V}$

$$\chi = -\frac{N}{V} \frac{\partial^2 E_0}{\partial B^2} = -\frac{N}{V} \left[\frac{e^2}{4mc^2} \langle 0 | \sum_i (x_i^2 + y_i^2) | 0 \rangle - 2 \mu_B^2 \sum_n \frac{|\langle 0 | L_z + g S_z | n \rangle|^2}{E_n - E_0} \right]$$

Larmorov dopinos
 $\langle x_i^2 \rangle = \langle y_i^2 \rangle = \langle z_i^2 \rangle = \frac{1}{3} \langle r_i^2 \rangle$
 $\langle r^2 \rangle = \frac{1}{Z} \sum_i \langle 0 | r_i | 0 \rangle$
 \hookrightarrow točan broj e- u atomu

ima suprotan predznak
 1. članu (jer energije pobuđenih stanja ovise o energiji osn. stanja)

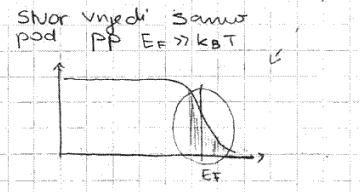
Iz ovoga je vidljivo da 2. član favorizira položaj dipola u smjeru polja tj. paramagnetsko ponašanje \Rightarrow to je Van Vleckova korekcija dijamagnetizmu (Langevinovom).

Magnetsko ponašanje ovakvih iona rezultat je ravnoteže između gornja 2 člana što je jedino zapažljivo stanje osnovno stanje (u termičkoj ravnoteži kad je $F = E_0 \uparrow$ (nema entropije pa $F = E + TS$) Ali u mnogim slučajevima sljedeći član $J \neq 0$ je bližak $J=0$ pa daje dopinos F i gornja formula ne radi.

- za van Vleckov magnetizam je važno uočiti nesimetričnost elektronskog oblaka prema smjeru B
 - vrijednost $\chi_m \sim \chi_d L$

- van Vleckov paramagnetizam pojavljuje se i kod molekula!

\uparrow pod pp da nema interakcije među magn. momentima



→ Metali

PARAMAĢNETSKA SUSCEPTIBILNOST SLOBODNOG ELEKTRONSKOG PLIVA - PAULIJEVA SUSCEPTIBILNOST (PARAMAĢNETIZAM VODLJIVIH ELEKTRONA) → posljedica djelovanja \vec{B} a na spin elektrona, meinteragirajući elektroni

$q=0$ gronica (homogena smetnja)

Zanima nas kako vodljivi elektroni doprinose magnetskom momentu metala. Da bismo izračunali taj doprinos ne možemo upotrebljavati mihi jedan od prethodnih argumenata jer oni nisu lokalizirani kao elektroni u djelomično popunjenim ionskim ljuskama mihi se pod jakim utjecajem Paulijeveog principa isključenja mogu ponašati neovisno (ne odgovaraju neovisno kao elektroni lokalizirani na različitim ionima)

Degeneracija između elektrona suprotnih spinova koji dijele isto orbitalno stanje je otklonjena magnetskim poljem. To u metalu uzrokuje redistribuciju među elektronima suprotne orijentacije i stvara magnetski moment.

Imamo dva stanja (elektroni + i - spina obzirom na smjer H) Njihove energije će biti:

$$E_{\pm} = E(\vec{k}) - \mu \cdot \vec{B} \quad \text{spin}$$

$$E_{\pm} = E(\vec{k}) + \mu B$$

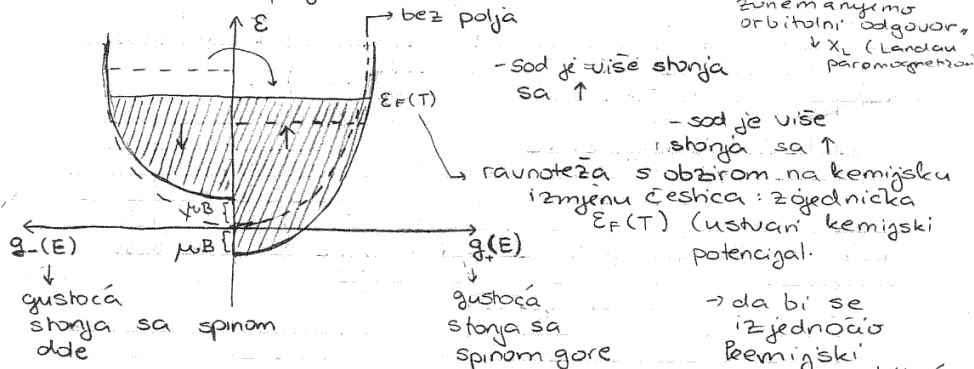
$\vec{k} \uparrow \downarrow \vec{B}$ $\vec{B} \uparrow \downarrow \text{spin}$ $\vec{\mu} = -\mu_B g \cdot \vec{S}_z$
 $\mu_B = \frac{e\hbar}{2m^c}$
 $-\vec{\mu} \cdot \vec{B} = -\mu_z B$
 $\mu_z = \mu \uparrow$
 $= -\mu \downarrow$

$E_{\pm} = E(\vec{k}) - \mu \cdot \vec{B}$ } ovdje smo PP da je jedinica dvije intenziteta $= \vec{B}$ preko \vec{L} inter.
 $E_{\pm} = E(\vec{k}) + \mu B$ }

$E(\vec{k})$ je energija u odsutnosti magnetskog polja. (μ je mog. mom. elektrona)

Broj elektrona u svakom stanju biti će dan s dvije različite FD raspodjele s istim kemijskim potencijalom μ

Na početku gustoća stanja je ista u oba skupa a kod nanimemo polje \vec{B} :



Neka je $g_{\pm}(\epsilon)d\epsilon$ broj elektrona specijiranog spina po jedinici volumena u intervalu energije od ϵ do $\epsilon+d\epsilon$

U odsutnosti polja, $B=0$: $g_{\pm}(\epsilon) = \frac{1}{2} g(\epsilon)$ gdje je $g(\epsilon)$ ukupna ordinarna gustoća nivoa.

$$g(\epsilon) = \frac{2s\pi^2}{2\pi^2\epsilon^2} m^2 \sqrt{2m\epsilon}$$

Budući je energija svakog elektronskog nivoa pomaknuta gore ili dolje za μB u prisutnosti polja bih a:

$$g_+(\epsilon) = \frac{1}{2} g(\epsilon + \mu B) \quad \text{pola ide gore a}$$

$$g_-(\epsilon) = \frac{1}{2} g(\epsilon - \mu B) \quad \text{pola dolje}$$

Broj elektrona po jedinici volumena: $n_{\pm} = \int d\epsilon g_{\pm}(\epsilon) f(\epsilon)$ (ϵ donog spina)

$$f(\epsilon) = \frac{1}{e^{\beta(\epsilon - E_F(T))} + 1} \quad \text{Fermi funkcija} \quad E_F(T) \rightarrow \text{kemijski potencijal}$$

Kemijski potencijal $E_F(T)$ se odredi tako da totalna elektronska gustoća (koncentracija) bude: $n = n_+ + n_-$

$$M = \mu(n_+ - n_-) \quad (**)$$

(gustoća magnetizacije)

Eliminiranjem kemijskog potencijala možemo iskonsiti relacije (*) i (**) da možemo magnetizaciju kao funkciju gustoće elektrona.

U nedegeneriranom slučaju ($f \approx e^{-\beta(\epsilon - E_F(T))}$) to vodi natrag na paramagnetizam tj. na izraz $M = \frac{N}{V} g \mu_B J B_J(\beta g \mu_B B)$ sa $J = 1/2$.

Međutim u metalima imamo degenerirani slučaj. Važna vanjačija gustoća nivoa $g(\epsilon)$ je na skali E_F a budući je $\mu_B B$ (μ_B) samo reda $10^{-4} E_F$ (čok. za velika polja od 10^4 Gauss $\rightarrow 1T$) konštmo razvoj:

$$g_{\pm}(\epsilon) = \frac{1}{2} g(\epsilon \pm \mu_B B) = \frac{1}{2} g(\epsilon) \pm \frac{1}{2} \mu_B \frac{\partial g(\epsilon)}{\partial \epsilon}$$

$$n_{\pm} = \int g_{\pm}(\epsilon) f(\epsilon) d\epsilon \approx \frac{1}{2} \int g(\epsilon) f(\epsilon) d\epsilon \pm \frac{1}{2} \mu_B \int g'(\epsilon) f(\epsilon) d\epsilon$$

$$(\text{Baršic: } n_{\pm} = \frac{m}{2} \mp s a \quad s a = \frac{g(E_F)}{2} \delta E)$$

$$n = n_+ + n_- = \int g(\epsilon) f(\epsilon) d\epsilon \quad \text{kao i za slobodni sustav (broj stanja se ne mijenja)}$$

↳ gustoća (elektronska koncentracija) je ista kao u odsutnosti polja \Rightarrow kemijski potencijal $E_F(T)$ može se uzeti kao za slobodni sustav (u odsutnosti polja)

$$E_F(T) = E_F^0 \left[1 - \frac{\pi^2}{12} \left(\frac{k_B T}{E_F^0} \right)^2 \right] \quad \text{za } T \neq 0 \quad (E_F(T) \text{ nam treba zbog } f(\epsilon))$$

Otuda slijedi:

$$M = \mu(n_+ - n_-) = \mu^2 B \int_0^{\infty} \left(\frac{\partial g(\epsilon)}{\partial \epsilon} \right) \frac{f(\epsilon) d\epsilon}{u} = \mu^2 B \int_0^{\infty} g(\epsilon) \left(-\frac{\partial f}{\partial \epsilon} \right) d\epsilon$$

parc. int.

Na $T=0$: $\chi = \chi_0 (\epsilon_F^0 - \epsilon) \Rightarrow \frac{\partial \chi}{\partial \epsilon} = -\delta(\epsilon - \epsilon_F^0)$

$\Rightarrow M = \mu^2 B g(\epsilon_F)$

$g(\epsilon_F^0) = \frac{2s+1}{2\pi^2 k^2} m \sqrt{2m \epsilon_F^0} = \frac{1}{\pi^2 k^2} m \sqrt{2m \frac{4\pi^2 k_F^2}{2m}} = \frac{m}{\pi^2 k^2} k_F$
 $= \frac{m}{\pi^2 k^2} \frac{k_F^3}{2m} = \frac{1}{2\pi^2} \frac{3\pi^2 \frac{N}{V}}{k_B T_F} = \frac{3}{2} \frac{n}{k_B T_F}$

$\Rightarrow \left[\chi_{Pauli} = \frac{3}{2} \frac{n \mu^2}{k_B T_F} \right]$

$\mu^2 = \mu_B^2 = \frac{e^2 \hbar^2}{4m^2 c^2}$

Paulijeva susceptibilnost (PARAMAGNETSKA) (ne ovisi o T!) (paramagnetska susceptibilnost vodljivih elektrona u metalima proporcionalna je gustoći stanja na Fermi nivou

$\chi_{Pauli} = \mu_B^2 g(\epsilon_F)$

(korekcije članu $-\frac{\partial \chi}{\partial \epsilon}$ su reda $(k_B T/B)^2$ za $T \neq 0$, rezultat vrijedi do vrlo visokih T (104 K)

Ali Landau je pokazao da digamagnetski doprinos iznosi oko

$\chi_{Landau} = -\frac{1}{3} \chi_{Pauli} \Rightarrow$ ukupni rezultat je:

ukupno χ ovajve χ je pola na χ je pola na χ je pola na χ je pola na

$\chi = \chi_{para} + \chi_{dija} = \chi_{Pauli} - \frac{1}{3} \chi_{Pauli} = \frac{2}{3} \chi_{Pauli} = \frac{n \mu^2}{k_B T_F}$

Za slobodne elektrone

$g(\epsilon_F) = \frac{m k_F}{\pi^2 \hbar^2} \Rightarrow \mu_B^2 = \frac{e^2 \hbar^2}{4m^2 c^2}$

$\Rightarrow \chi_{Pauli} = \frac{1}{2} \frac{k_F}{\pi^2} \cdot \frac{e^2 \hbar^2}{4m^2 c^2} = \frac{k_F e^2}{4\pi^2 m c^2} = \left(\frac{d_0}{2\pi} \right)^2 (a_0 k_F)$
 $d_0 = \frac{e^2}{\hbar c} = \frac{1}{137}$
 $= \left(\frac{2.59}{15/a_0} \right) \times 10^{-6}$

$\chi_{Pauli} \rightarrow$ 3 puta viša od Landauovog člana.

Paulijeva susceptibilnost je mala (sklonija digamagnetskim)

To je zato jer je princip isključenja mnogo efektivniji nego termalna neuredenost u sprečavanju postojanja spinova u smjeru polja!

drugi način: Ziman str. 332

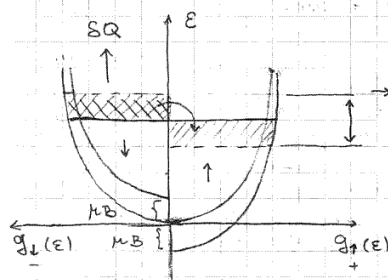
$\epsilon_{k+} = \epsilon(\vec{k}) - \mu_B$
 $\epsilon_{k-} = \epsilon(\vec{k}) + \mu_B$

$n_+ = \int \frac{1}{2} W(\epsilon) \varphi^0(\epsilon_{k+}) d\epsilon$

$M = \mu(n_+ - n_-) = \mu \int \frac{1}{2} [f_0(\epsilon - \mu_B) - f_0(\epsilon + \mu_B)] W(\epsilon) d\epsilon$

$\approx \mu^2 B \int \left(-\frac{\partial f_0}{\partial \epsilon} \right) W(\epsilon) d\epsilon$
 $= \mu^2 B W(\epsilon_F)$

Baršićev izvod Paulijevog paramagnetizma:



δE je promjena u E od promjena srednje energije

ukupna promjena energije srednja energija po elektronu je aritmetička sredina

$\delta E = \frac{1}{2} (\mu_B + \mu_B) = \mu_B$

gustoća stanja pomaknutih je polovina gustoće stanja $\frac{g_F}{2}$

$\delta E = \mu_B \rightarrow$ aproksimacija da je prosječno za sve čestice isto.

$\delta Q = \frac{1}{2} g_F \delta E \rightarrow$ broj stanja koja su prebačena

$M = \mu \frac{(n_+ - n_-)}{2 \delta Q} = \mu^2 g_F B$

$T < \epsilon_F$ vrijedi za sve temp mole u atmosferi na Fermi en. (Creda veličine 11000K)

$M = \mu^2 g_F B$ s gustoćom stanja

$\chi_{Pauli} = \mu^2 g_F$

Pauli doprinos - od slobodnih e- \rightarrow dobijemo faktor sličan Landauovom \rightarrow gotovo neovisan o temperaturi, relativno mali

(Elektronski sustav s dugodosežnom interakcijom \rightarrow prevara se u gotovo sl. el. (krokodorske sile) + plazma)

Drugi način: gledamo promjenu energije

n_F je gustoća stanja po jedinici volumena

$\Delta E = \Delta E_{kin} + \Delta E_{mag} = \frac{M_F}{2} \frac{\delta E}{\delta Q} \cdot \delta E = \frac{n_F}{2} (\delta E)^2 = \Delta E_{kin}$

$\Delta E_{mag} = 2 \cdot (-\mu_B) \frac{M_F}{2} \delta E$

\Rightarrow varijacijski princip $\frac{\partial \Delta E}{\partial SE} = 0 = \frac{M_F}{2} (2 \delta E - 2 \mu_B) \Rightarrow \delta E = \mu_B$

\rightarrow uvrštimo u ΔE i imamo:

$\Delta E = -\frac{M_F}{2} \mu^2 B^2$ (promjena ΔE po jedinici volumena)

$\Rightarrow \chi = -\frac{\partial \Delta E}{\partial B^2} = n_F \mu^2$

$12 \left(\frac{2.59}{15/a_0} \right) \times 10^{-6}$

	Metal	r_s/a_0	$10^6 \chi_{Pauli}$	$10^6 \chi_{Pauli}$ (mjeren)
Usporedba mjerenih Pauli susceptibilnosti i onih za slobodne elektrone.	Li	3.25	0.80	2.0
	Na	3.93	0.66	1.1
	K	4.86	0.53	0.8
	Rb	5.20	0.50	0.8
	Cs	5.62	0.46	0.8

odstupanja su najviše u slučaju zbr. zanemarljivih elektron-elektron interakcija

7. FEROMAGNETIZAM SLOBODNIH ELEKTROMA = STONEROV KOLEKTIVNI ELEKTRONSKI MODEL (zbog korelacije elektrona)

U Paulijev paramagnetizam uključujemo i energiju interakcije para elektrona (\uparrow, \downarrow) (interakcija izmjene)
 Ta se interakcija ponaša kao vanjski potencijal (oprox. sr. polja)

Ukupna energija: $E_{\pm}^{\pm} = E(\vec{k}) - \mu B - \frac{1}{3} \frac{s(s+1)}{\frac{1}{2}(\frac{1}{2}+1)} \sum_{\vec{k}} \frac{J_{ee'}}{\mu} \langle \vec{S} \cdot \vec{S}' \rangle$
sr. vrijednost operatora
integral izmjene
pozicij magnetsa

$q=0$ granica! oprox. sr. polja
 $n_{\uparrow} \uparrow n_{\downarrow} \rightarrow \langle n_{\uparrow \downarrow} \rangle = n_{\pm}$ ne ovisi o ali ovisi o spinu

Ziman str. 339. Band ferromagnetism

- suprotno od lokaliziranih spinova Heisenbergovog modela sada se elektroni s magnetskim momentom nalaze u vrpca Blochovih stanja. Neka je n_{\pm} okupacijski broj stanja $|\vec{k}\rangle$ sa spinom \pm . U Stonerovom kolektivnom elektronskom modelu dodavamo elektronskom Hamiltonijanu član oblika

$$H_{int} = \frac{U}{N} \sum_{\vec{k}} n_{\vec{k}\uparrow} n_{\vec{k}\downarrow} \quad (*)$$

Svaki par elektrona suprotnog spina doprinosi sa pozitivnom energijom "izmjene", velicine U/N , koja potječe (možda) iz njihovog poremeneq simultanog boravka u d-juoci istog atoma, ali nije nužno predstovljena integralom kao $2 \iint \phi_a^*(\vec{r}_1) \phi_b^*(\vec{r}_2) \frac{e^2}{|\vec{r}_1 - \vec{r}_2|} \phi_a(\vec{r}_2) \phi_b(\vec{r}_1) d\vec{r}_1 d\vec{r}_2$. Doprinosi elektrona istog spina ne moraju se eksplicitno računati jer se mogu uključiti u definiciju nulte energije.
 Neka je n_{\pm} totalni broj elektrona po atomu spina \pm

=> energija elektrona + spina:

$$E_{\vec{k}\pm} = E(\vec{k}) - \mu B + U n_{\pm}$$

i slično za one spina (-).

Kemijski potencijal cijele skupine elektrona je isti => mogu se zadovoljiti sljedeće jednodžbe:

$$n \langle \mu \rangle = \mu \int \frac{1}{2} \{ \varphi^0(E_{k+}) - \varphi^0(E_{k-}) \} W(E) dE$$

$$n = \int \frac{1}{2} \{ \varphi^0(E_{k+}) + \varphi^0(E_{k-}) \} W(E) dE$$

rišenje

$$\chi = \frac{\mu^2 W(E_F)}{1 - \frac{1}{2} U W(E_F)} \quad W(E_F) \equiv g(E_F) \text{ (gustocá stanja na Fermi nivou)}$$

$$\varphi^0(E_{k+}) = \varphi^0(E - \mu B + U n_{\pm}) \xrightarrow{T=0} \Theta(E_F + \mu B - U n_{\pm} - E)$$

$$\approx -\Theta(E_F + \mu B - U n_{\pm}) + \delta(E_F + \mu B - U n_{\pm}) E$$

itd => χ

Interakcija izmjene (*) koja favorizira paralelne spinove čini sistem puno lakše polarizabilnim.

Ali kad je to polje izmjene dovoljno jako tj. kad je

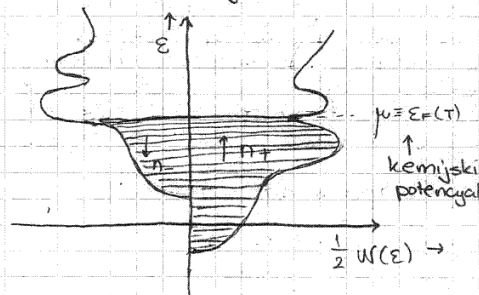
$$\frac{1}{2} U W(E_F) > 1$$

to formalno rješenje je očito nestabilno. To predstovlja prijelaz u ferromagnetsko stanje.

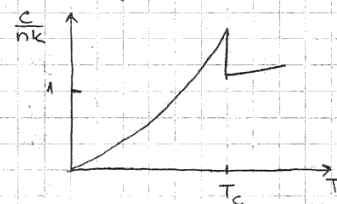
Jednodžbe se mogu riješiti numerički za $\langle \mu \rangle$ kao funkciju temperature (=> rezultat se kod toplotno ne razlikuje puno od $\langle \mu \rangle \approx N \mu S \tanh \left\{ \frac{\mu S}{k_B T} (N \mu \langle \mu \rangle + B) \right\}$). Sistem pokazuje Curievu temperaturu ispod koje magnetski moment solenira na približno konstantnu vrijednost. Poviše Curieve točke predviđa se nešto kao Curie-Weissov zakon.

U modelu također nije teško izračunati eksplicitno specifičnu toplinu koja je povezana sa prijelazom. Također se može izračunati energija kao funkcija T i diferenciranjem dobiti toplinski kapacitet. Ispada da Cd ima diskontinuitet na T_{Curie} i oštri pik ispod T_{Curie} . Ovo je također opaženi dokaz prelaska u ferromagnetsko stanje iako teorija ne predviđa u detlje točan oblik pika.

a) Band ferromagnetism



(b) Elektronski specifični toplinski kapacitet ferromagnetičnog metala



Bansicevo pojednostovljenje:

- pretpostovljamo da medu elektronima postoje kratkodosežne interakcije $\sim kT_F$ (Coulomb. prirode - zosjenjenje, a $\uparrow \downarrow$ je osjetit oko im Paulijev princip dopusti da se dovoljno približe)

(tj. zosjenjena dugodosežna: RPA, $kT_F \sim \frac{2U}{a}$)

Interakcija: $\sim U n_{\uparrow} n_{\downarrow}$

U = mehanički element dva elektrona različitih spinova koji su došli u istu Wigner-Seitzovu celiju.

HUBBARD ČLAN

(član unitor W sč $2e^-$ unitor nje)

=> oko su spinovi isti nema tog člana tj. ovaj član uključuje Paulijev princip (nema unitor U) $n_{\pm} = n_{\uparrow} + n_{\downarrow}$ megu samo jedan od n_{\uparrow} i n_{\downarrow} u najjednostavn. slici, komplik. \rightarrow korelacij

dugodosežni dio odrezan screeningom u RPA.

U je Coulombovski matricni element

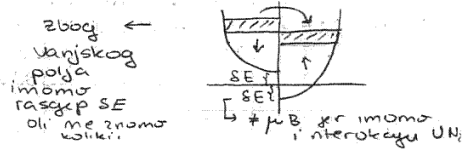
$$\psi(r_1, r_2) = \frac{1}{\sqrt{2}} [\psi(r_1)\psi(r_2)|\uparrow\downarrow\rangle + \psi(r_2)\psi(r_1)|\downarrow\uparrow\rangle]$$

$$U = \int \psi_R^2(\vec{r}_1) \frac{e^2}{r_{12}} \psi_L^2(\vec{r}_2) d\vec{r}_1 d\vec{r}_2$$

Interakcija ~ $U n_{\uparrow} n_{\downarrow}$ somosug. $n_{\uparrow} \rightarrow \langle n_{\uparrow} \rangle$
 vodi na promjenu energije ΔE različitu od μ_B (čisto polje)
 Interakcija $2e^-$ unutar iste ćelije ne ovisi o i ali ovisi o spinu.
 jer imamo interakciju $\uparrow\uparrow, \uparrow\downarrow, \downarrow\downarrow$
 interakcija $2e^-$ na jednom čvoristu elektroni mogu biti suprotnog spina zbog Pauli.

sv. vrijednosti od $n_{\uparrow}, n_{\downarrow}$: 0, 1
 sv. vr. od $n_{\uparrow}, n_{\downarrow}$: 0, 1, 2

Ukupni hamiltonijan: $H_2 = \frac{p^2}{2m} - 2\mu_B + U n_{\uparrow} n_{\downarrow}$
 (Krotkodosežna Coulombovska sila tj. Hubbardova interakcija)



Računamo promjenu energije ΔE :

$$\Delta E_{kin} = \frac{1}{2} g(E_F) (\Delta E)^2 \rightarrow \text{promjena člana } H_0 \text{ u hamiltonijanu zbog skokanja stanja u magnetsko polje.}$$

$$\Delta E_{mog} = -\mu_B 2SQ \rightarrow \text{jer ih je } 2SQ \text{ polo u energiji za } \mu_B$$

$$\Delta E_{mog} = 2(-\mu_B) \frac{1}{2} g(E_F) \Delta E \rightarrow \text{broj prebačenih na drugu stranu (u prosjeku)}$$

$$n_{\uparrow} = \frac{n}{2} + SQ \quad n_{\downarrow} = \frac{n}{2} - SQ$$

broj mjesta na svakoj strani

$$\Rightarrow n_{\uparrow}, n_{\downarrow} = \frac{n}{2} - (SQ)^2 \Rightarrow \Delta(n_{\uparrow} n_{\downarrow}) = -(SQ)^2$$

regularno (bez polja) promjena zbog polja

$$\Rightarrow \Delta E_{int} = -U(SQ)^2 = -U \cdot \left(\frac{g(E_F)}{2}\right)^2 (\Delta E)^2$$

$$\Delta E_{int} = U \left[\left[\frac{n}{2} + SQ\right] \left[\frac{n}{2} - SQ\right] - \frac{n}{2} \cdot \frac{n}{2} \right] = -U(SQ)^2$$

Rješavamo varijacijskim principom \Rightarrow treba uzeti tokov ΔE da jednoel. energija bude min. (varijacija po ΔE)

$$\Delta E_{TOT} = \Delta E_{kin} + \Delta E_{mog} + \Delta E_{int} = \frac{g(E_F)}{2} [(\Delta E)^2 - 2\mu_B \Delta E - U \frac{g(E_F)}{2} (\Delta E)^2]$$

$$\frac{\partial \Delta E_{TOT}}{\partial (\Delta E)} = 0 \rightarrow \text{najniže stanje u prisutnosti magnetskog polja}$$

$$\frac{g(E_F)}{2} [2\Delta E - 2\mu_B - U g_F \Delta E] = 0 \Rightarrow \Delta E_0 = \frac{\mu_B}{1 - \frac{g(E_F)U}{2}}$$

\Rightarrow uvrstimo u ΔE_{TOT} :

$$\Delta E_{TOT} = \frac{g_F}{2} (\Delta E)^2 \left[1 - \frac{2\mu_B}{\Delta E} - \frac{g_F U}{2} \right] = -\frac{g_F}{2} \frac{\mu_B^2 B^2}{(1 - \frac{g_F U}{2})^2} \left(1 - \frac{g_F U}{2} \right)$$

$$\chi = -\frac{\partial^2 \Delta E_{TOT}}{\partial B^2}$$

$$\Delta E_{TOT} \text{ (promjena } \epsilon_n \text{ po jed. volumena)} \Rightarrow \chi = -\frac{1}{V} \frac{\partial^2 \Delta E_{TOT}}{\partial B^2}$$

popunio se korelacijski faktor

$$\chi = \frac{\mu_B^2 g_F}{1 - \frac{U g_F}{2}}$$

STONEROVA SUSCEPTIBILNOST

$1 - \frac{U g_F}{2}$ Stonerov faktor, Stonerovo pojačanje

Za $\frac{g(E_F)}{2} \cdot U \rightarrow 1 \Rightarrow$ jake interakcije \Rightarrow spontana feromagnetičnost vodljivih elektrona

Za $U=0$ NEINTERAGIRAJUĆI FEROMAGNETIZAM

$$\chi \approx \frac{\chi_0(q)}{1 - \frac{U}{2} \chi_0(q)} \quad \chi_0 - \text{polarizabilnost sl. el. para}$$

Sistem ima tendenciju da se spinovi uredi tj. da se stvori feromagnetsko stanje (na vodljivim elektronima)

\rightarrow u željezu se vidi feromagnetizam vodljivih elektrona \rightarrow razlika od Heisenbergovog (magnetizam po čvoristu malen)

Coul. int. doprinosi feromagnetizmu

(mali magnetski moment po elektronu, ne 1/2)

\rightarrow za $n_F U > 1 \rightarrow$ sve krivo; nismo u početku ni mogli krenuti od metalne slike (odmah smo morali krenuti od feromagneta)

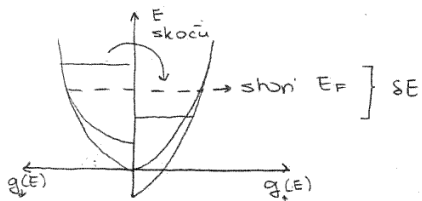
$$\chi = \frac{\mu_B^2 g_F}{1 - \frac{U g_F}{2}} \text{ baziran je na RPA.}$$

PAULIJEVA I STONEROVA SUSCEPTIBILNOST

Pauli: → sustav je u ravnoteži, navinemo polje \vec{B}

→ energija se cijepa $E = E_0 + \begin{cases} -\mu B & \vec{\mu} \parallel \vec{B} \\ \mu B & \vec{\mu} \text{ anti} \parallel \vec{B} \end{cases}$
 ($E_+ < E_-$ → dva elektrona
 sa - spinom promijenit će svoji spinove)

- raspodjela se pomiče ali se stvar preskakiivanjem vraća u ravnotežu



Proračun magnetizacije:

$M = \bar{N} \cdot \mu$
 ↳ prosječan broj (po jed. volumena)

$\bar{N} = (n_{\uparrow} - n_{\downarrow}) = \left(\frac{N}{2} + \delta Q - \frac{N}{2} + \delta Q\right)$
 $= 2 \delta Q$

$\delta Q = \frac{n_F}{2} \delta E$, $\delta E = \mu B$ jer je to jedina interakcija
 ↳ gustoca stanja

$M = 2 \cdot \frac{n_F}{2} \mu B \cdot \mu = n_F \mu^2 B$

$\chi = \frac{\partial M}{\partial B} = n_F \mu^2$

Promjena ukupne energije:

$\Delta E = \Delta E_{kin} + \Delta E_{mag}$
 $\Delta E_{kin} = \delta E \delta Q = \frac{\delta^2 E}{2} n_F = \frac{n_F}{2} B^2 \mu^2$

Stoner: → u plin uvodimo spin-spin interakciju koja je kratkodosežna

$E_{INT} = U n_{\uparrow} n_{\downarrow}$

Elektroni + i - spina imaju različitu energiju zbog vanjskog mag. polja i zbog interakcije izmjenne između para elektrona.
 Ova interakcija izmjenne ponosa se kao Weissova polja $E^{\uparrow(\omega)} = E(\omega) - \mu_0 H - \frac{konst}{\mu} < \mu$

Promjena ukupne energije:

$\Delta E_{kin} = \frac{n_F}{2} (\delta E)^2$ $\Delta E_{mag} = -\mu B 2 \delta Q = -\mu B n_F \delta E$
 $E_{INT} = U (n_{\uparrow} n_{\downarrow}) = U \left(\frac{N}{4} - (\delta Q)^2\right)$ → $\Delta E_{int} = -U (\delta Q)^2 = -U \left(\frac{n_F}{2}\right) (\delta E)^2$

$\Delta E_{TOT} = \Delta E_{kin} + \Delta E_{mag} + \Delta E_{int}$ → da nađemo δE : $\frac{\partial (\Delta E_{TOT})}{\partial (\delta E)} = 0$
 minimiziramo

→ $\delta E_0 = \frac{\mu B}{1 - \frac{U n_F}{2}}$, → $H = \bar{N} \mu = 2 \delta Q \mu = n_F \delta E \cdot \mu = \frac{\mu^2 B}{1 - \frac{U n_F}{2}}$

→ $\chi = \frac{\mu^2 B}{1 - \frac{U n_F}{2}}$

- postoji mogućnost permanentnog dipolnog momenta (tj. spontane magnetizacije) → $U n_F > 2$
 Za $\frac{U n_F}{2} = 1$ $\chi \rightarrow \infty$ → prelaz u fer. mag stanje.